

X. Goula

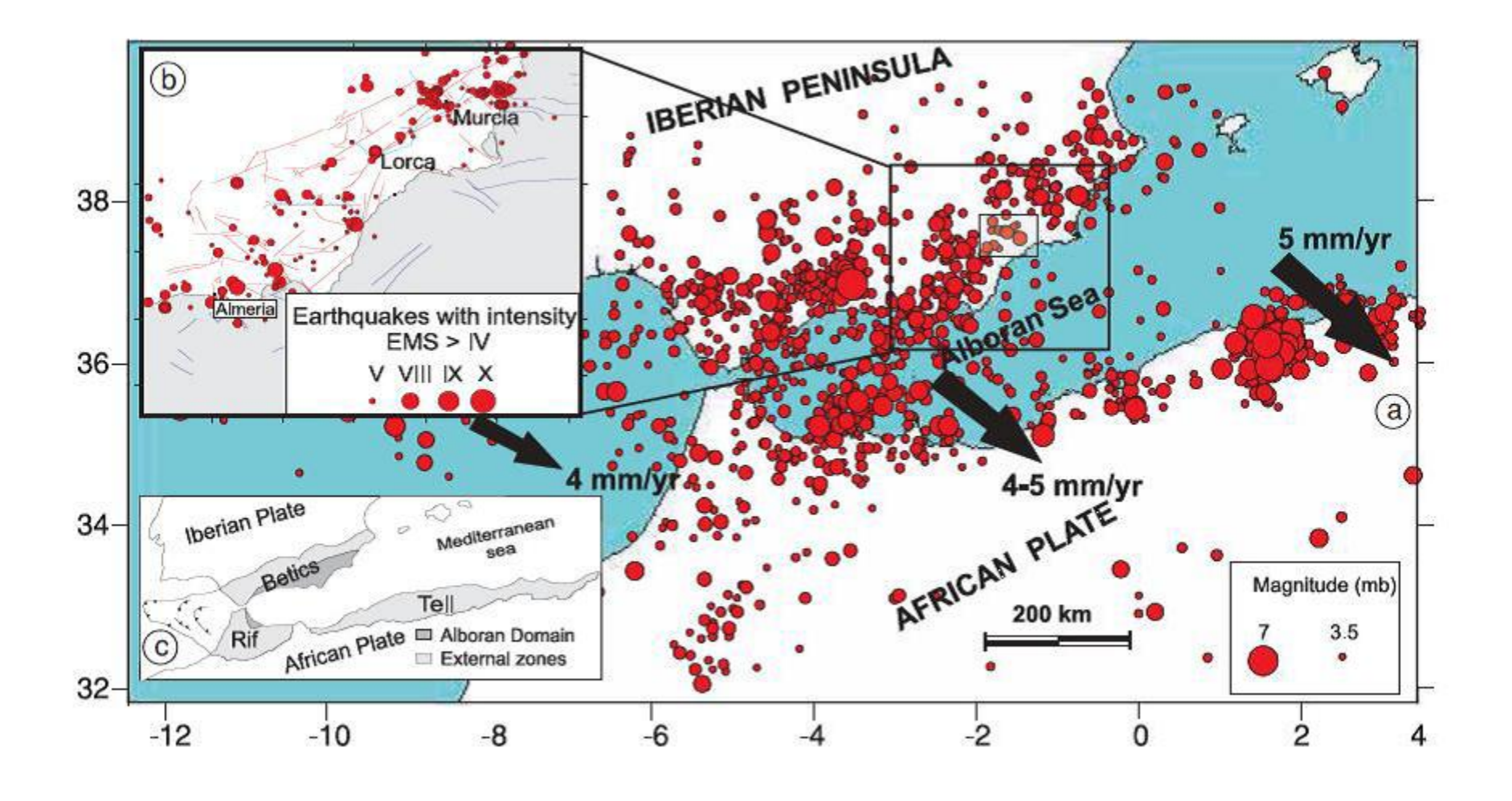








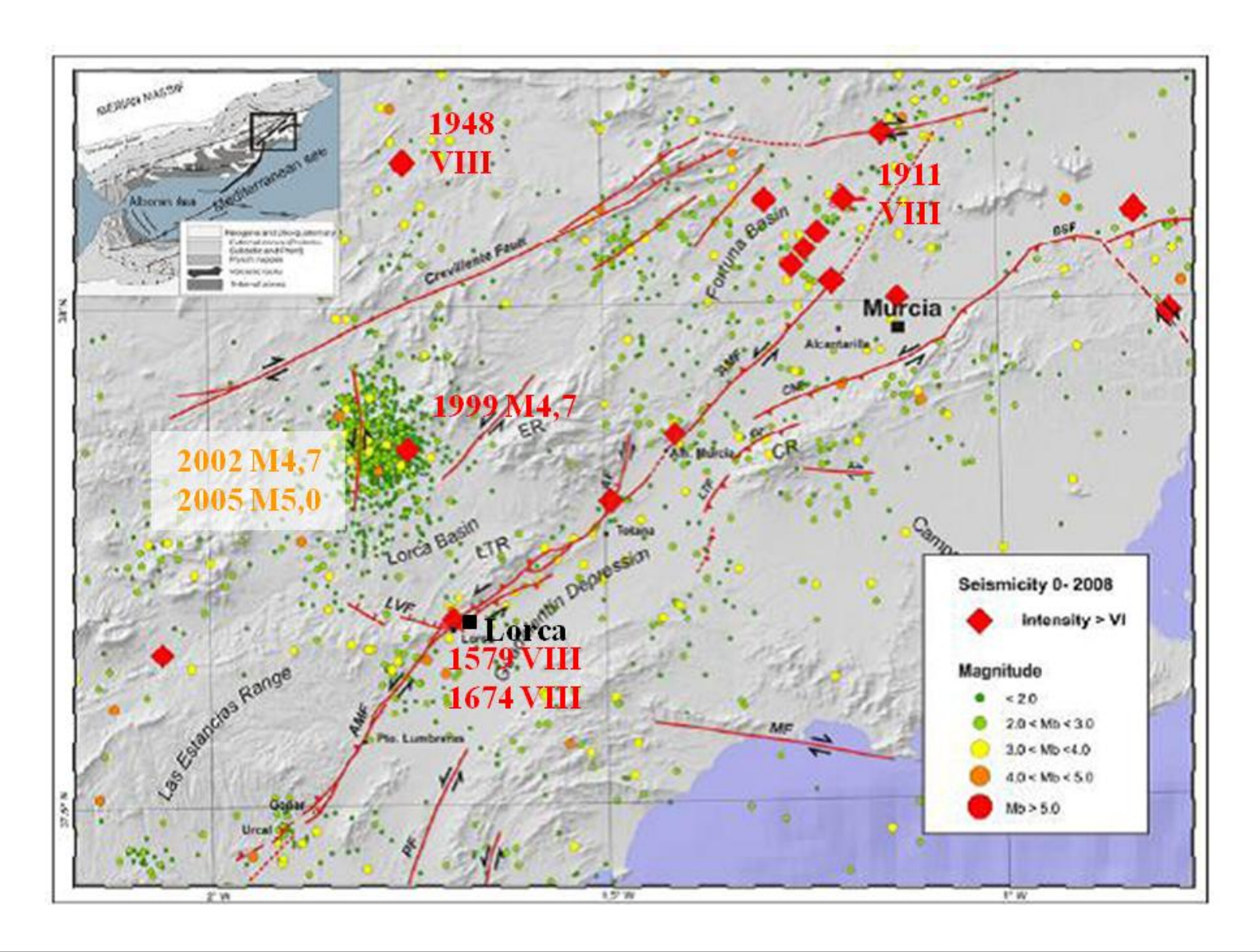
## Sismoctectónica regional



**IGC** 



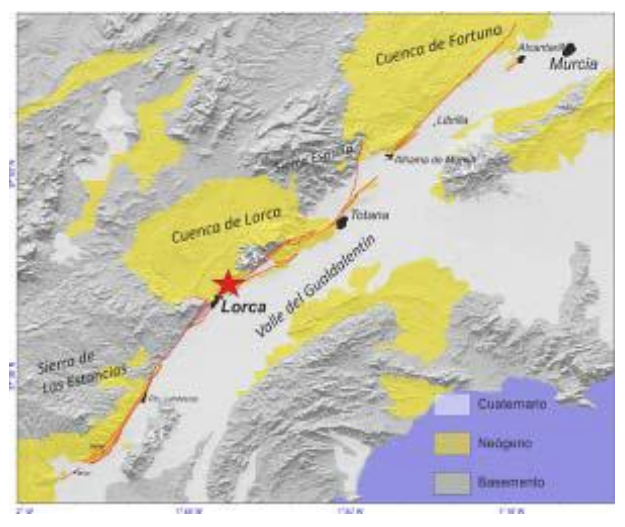
## Sismicidad regional

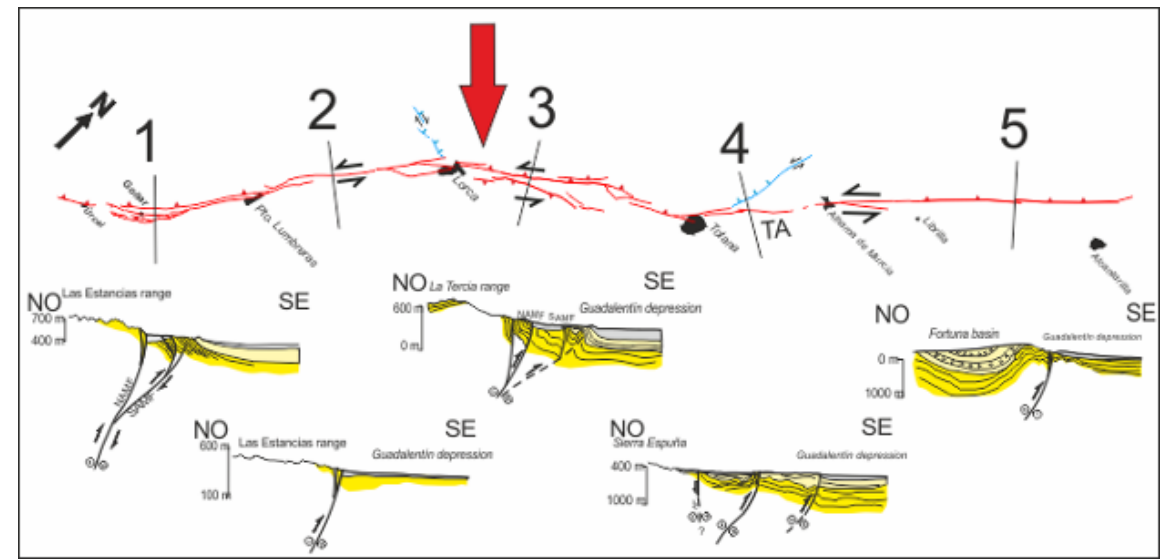






## Falla de Alhama de Murcia y segmentación



















#### Falla de Alhama de Murcia en Lorca









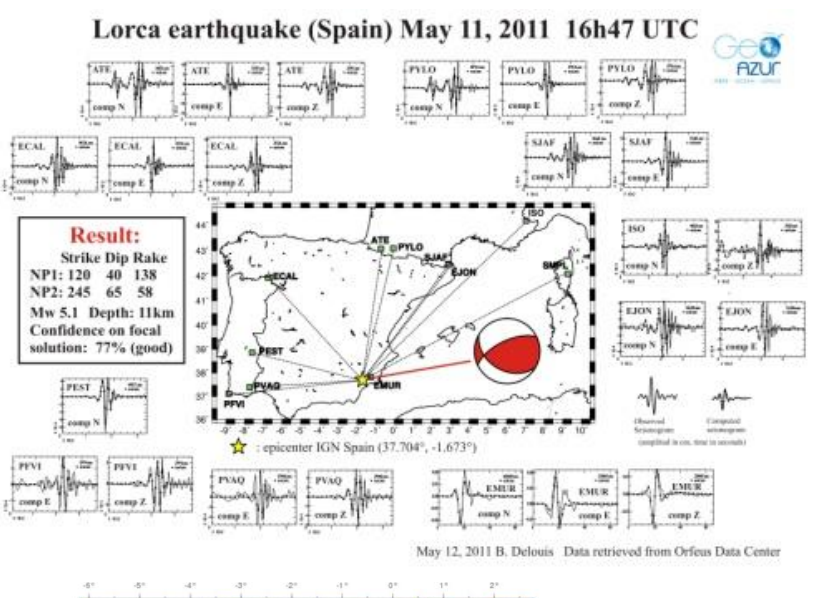


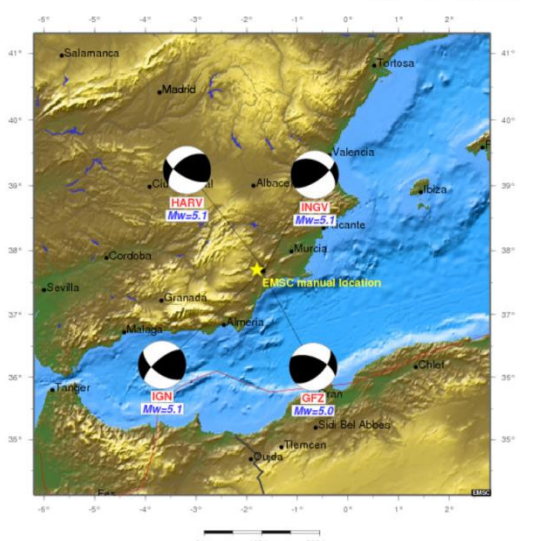


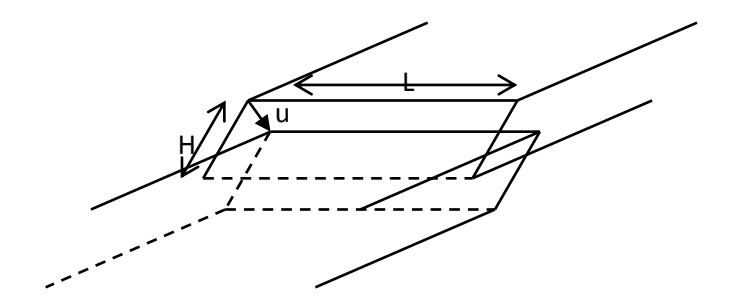




## Mecanismo focal, geometría y tamaño de ruptura







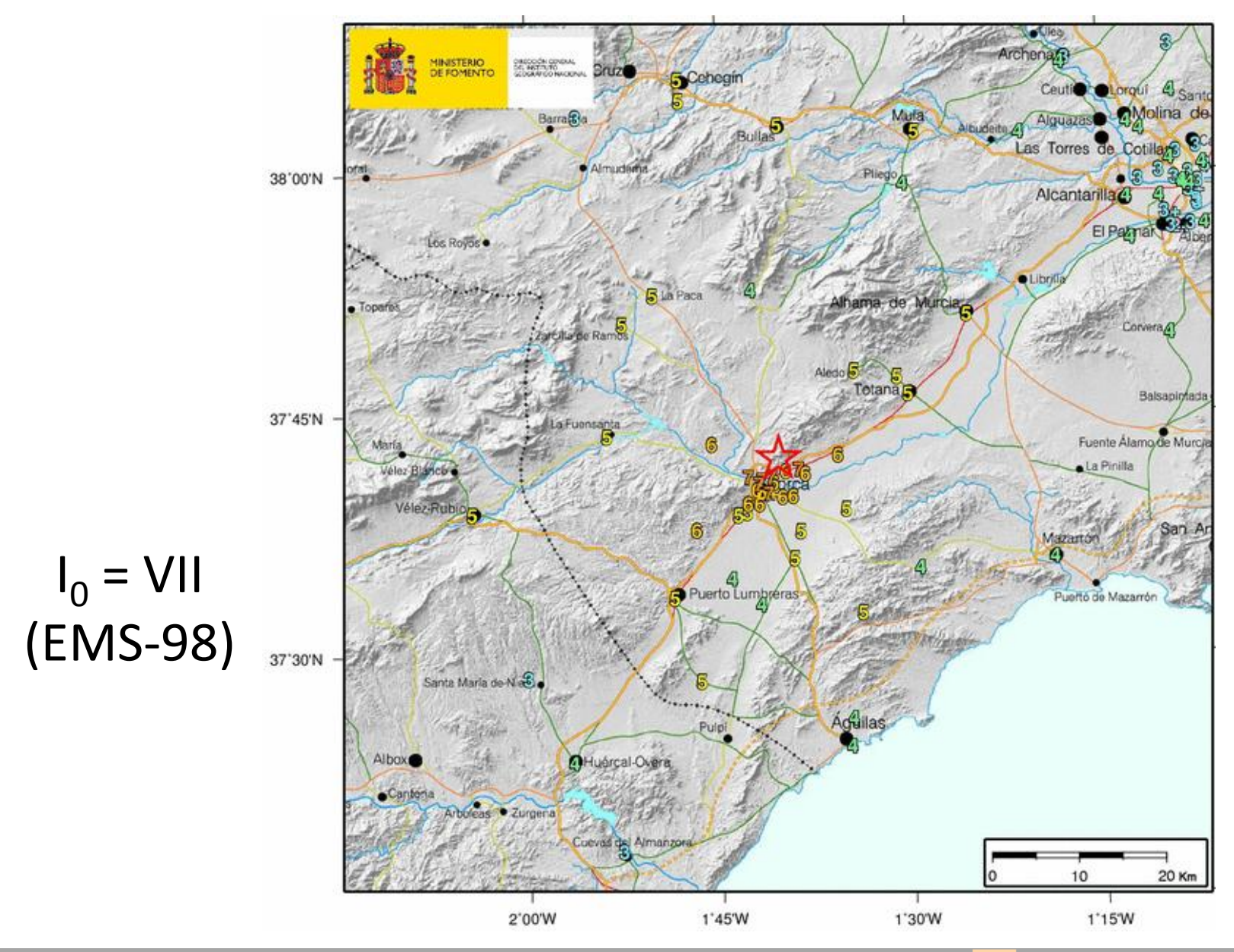
$M_{\rm w}$	$\mathbf{M}_0$	L (Km)	Н	u (cm)
	$(N \cdot m)$		(Km)	
4	$10^{15}$	1	0.5	5
5	$10^{16-17}$	4	2	15
6	$10^{18}$	12	5.5	50
7	$10^{19-20}$	40	18	150
8	$10^{21}$	120	55	500



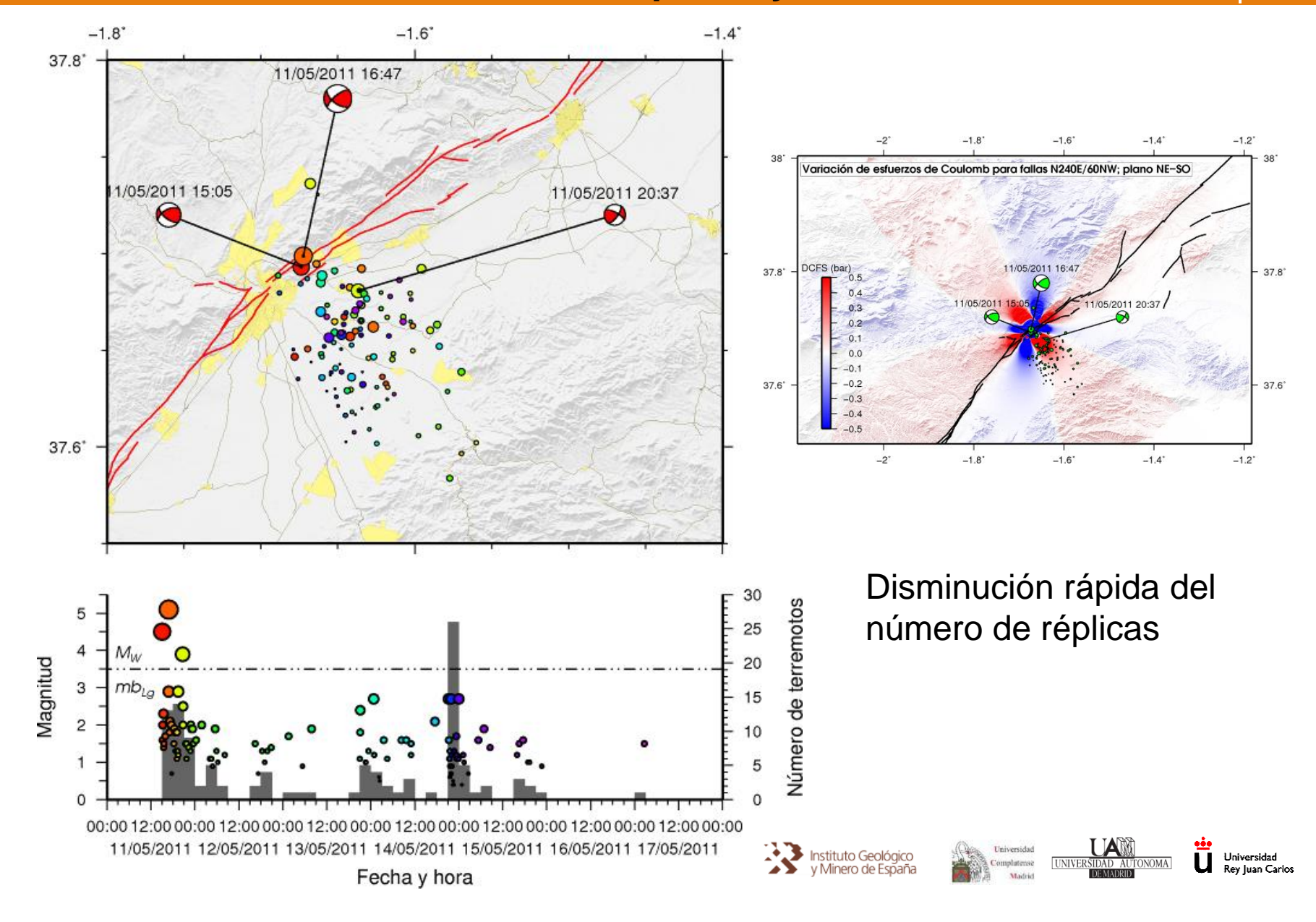




#### Intensidades percibidas



## Réplicas y Esfuerzos de Coulomb

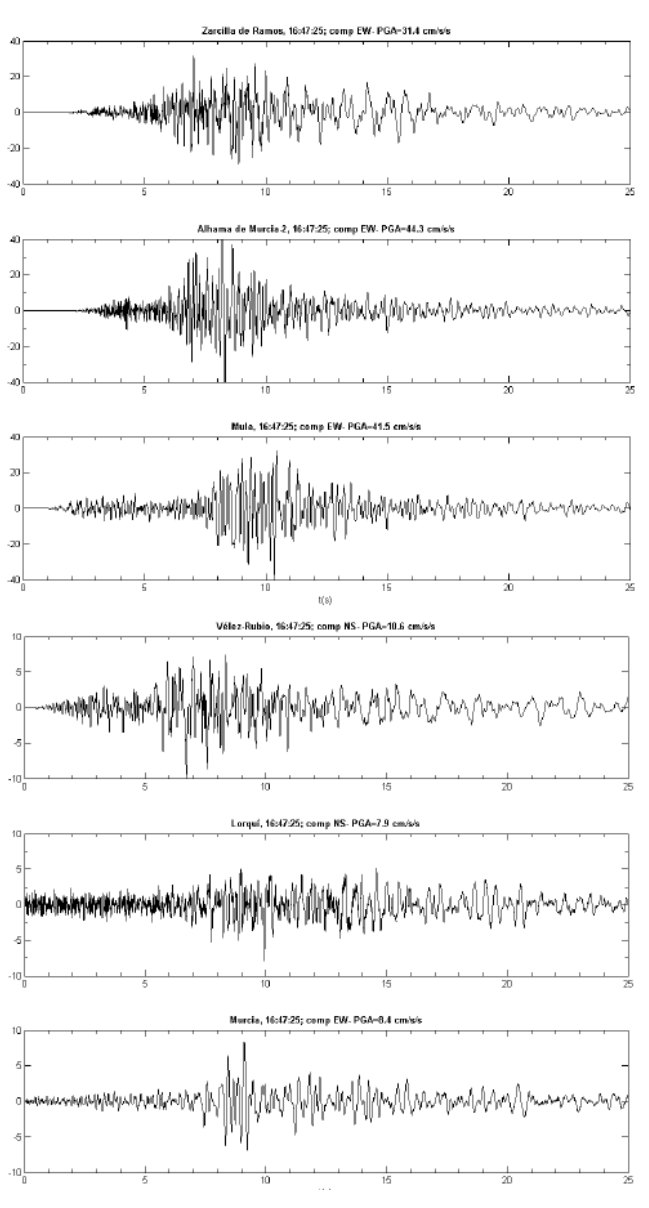








## Acelerogramas del terremoto del 11 de Mayo de 2011











#### Aceleròmetro de LORCA: ubicado en el sótano de la antigua cárcel



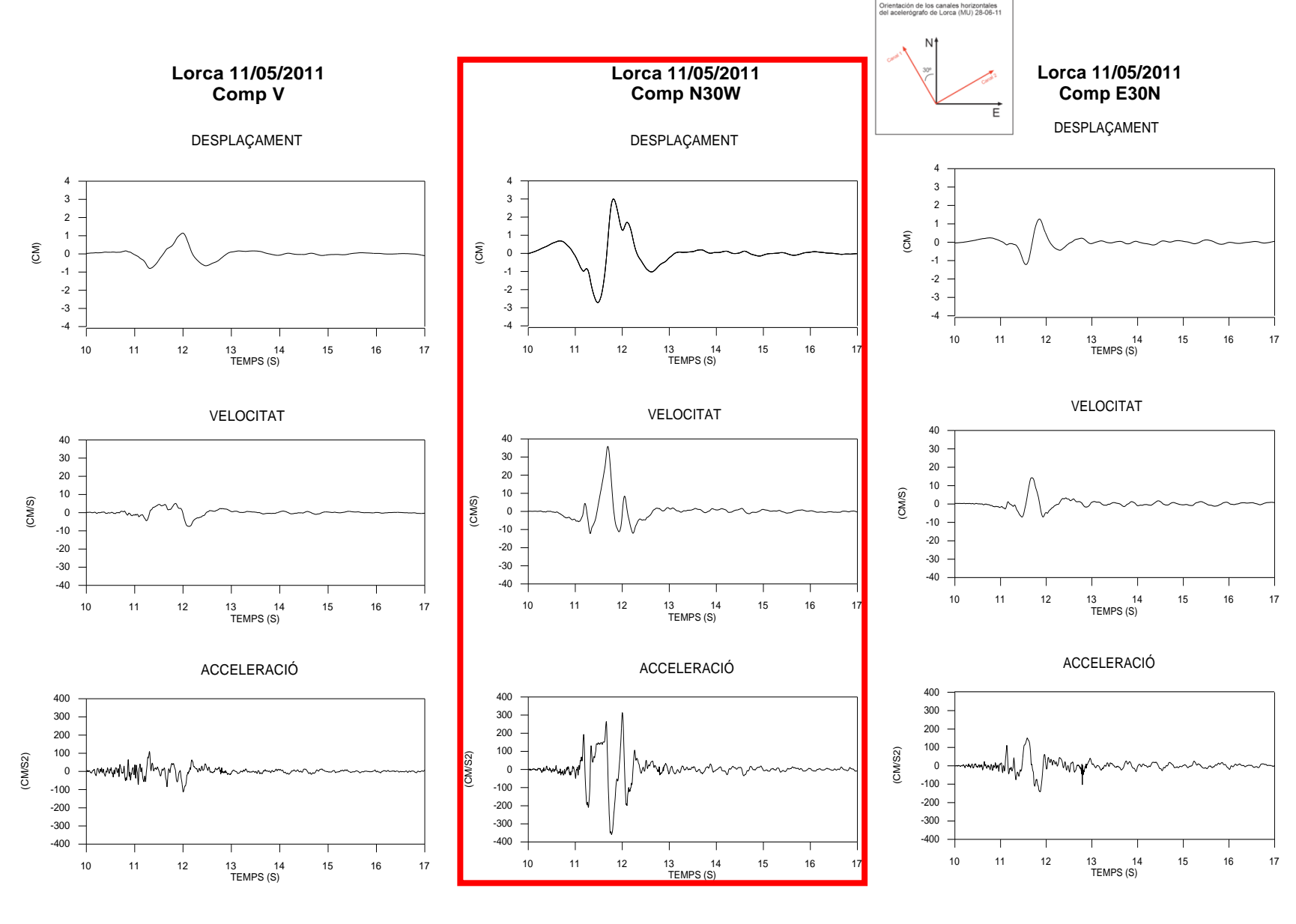








#### Acelerograma de 3 comp. de la estación de Lorca

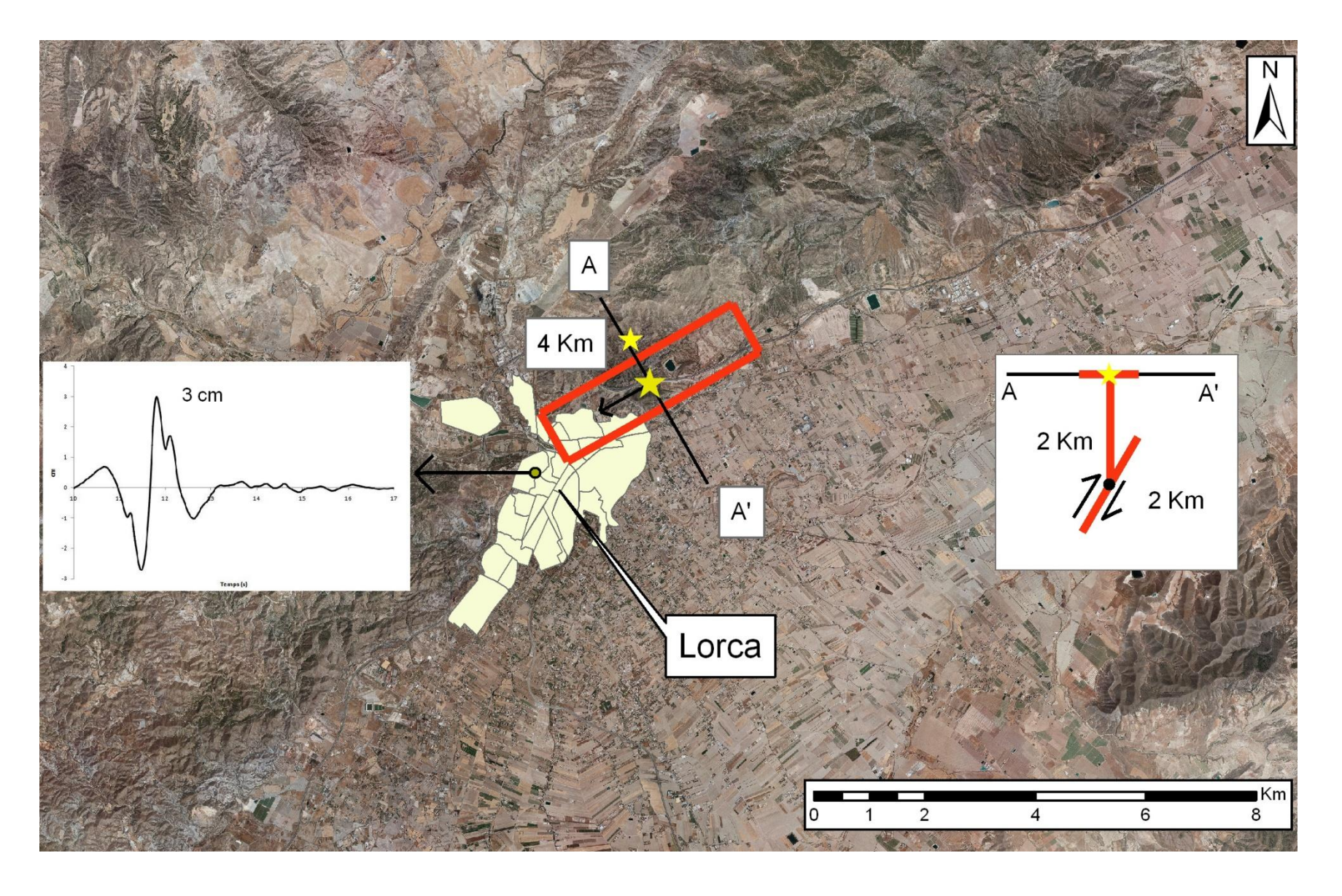






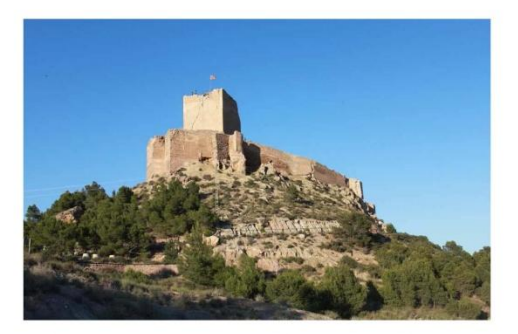


## Efecto de directividad de la propagación de la ruptura hacia el SO





## Ejemplos del desplazamiento observado en la ciudad



Shear crack onto the castle tower - sliding toward north direction





Shear crack onto the castle tower – sliding toward north direction

D. Combescure et al., 2011







# Rotación de segmentos del Obelisco de la Carrera











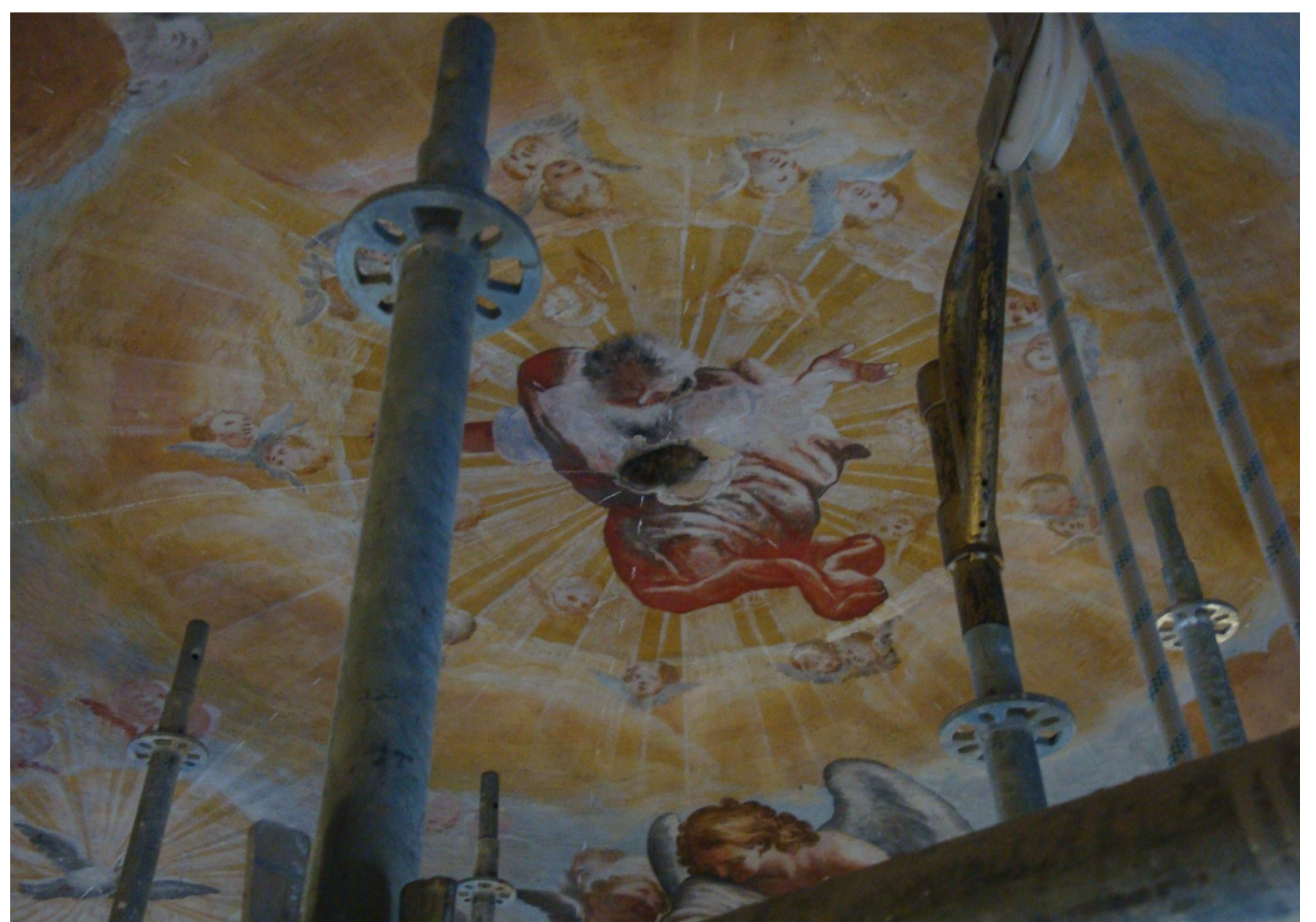
# Iglesia del Paso Blanco







# Cúpula de la iglesia del Paso Blanco

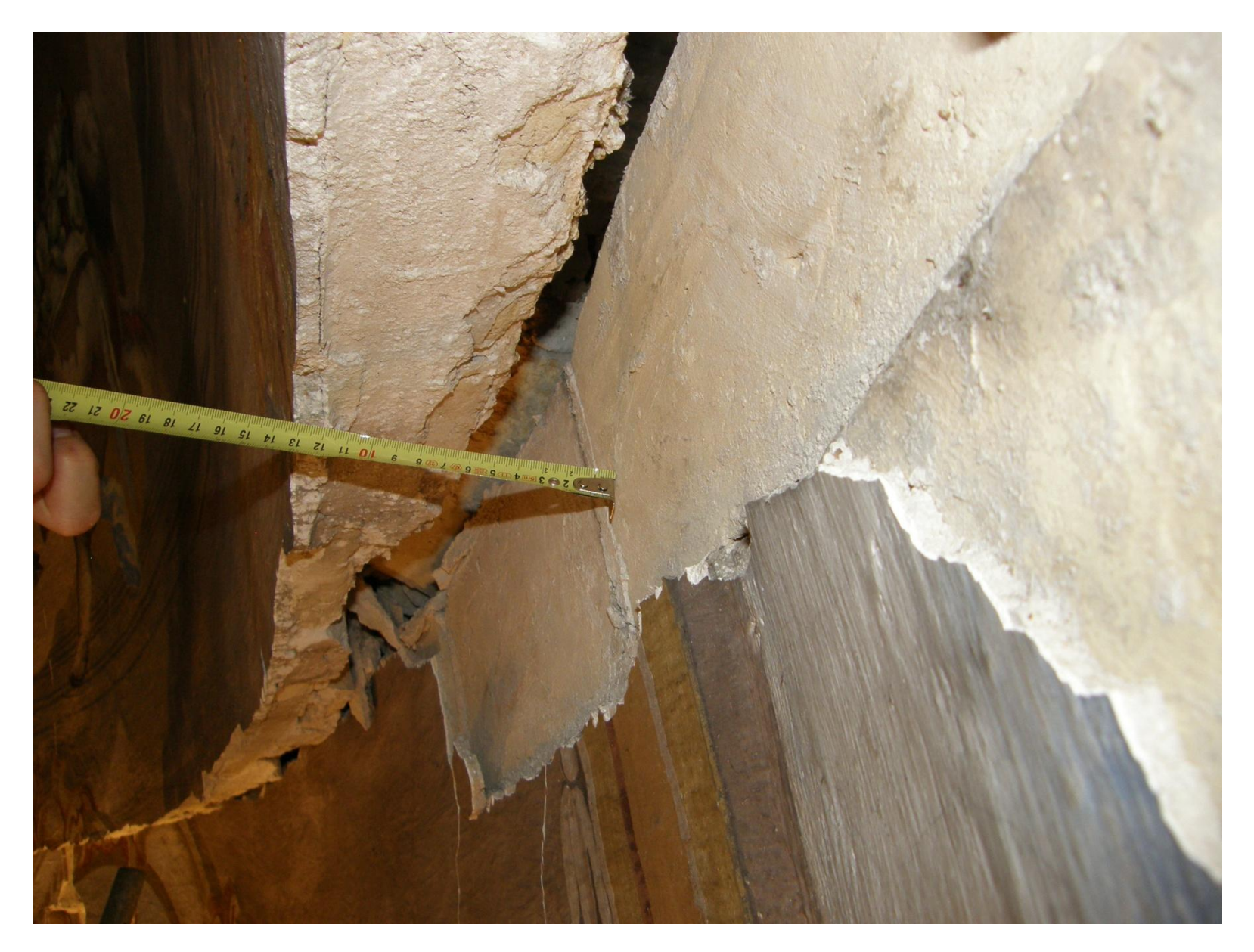








# 13 cm de desplazamiento entre muros y cúpula









## Desplazamiento de máquinas en dirección Norte



Sliding of heavy machinery with loss of the supports



D. Combescure et al., 2011

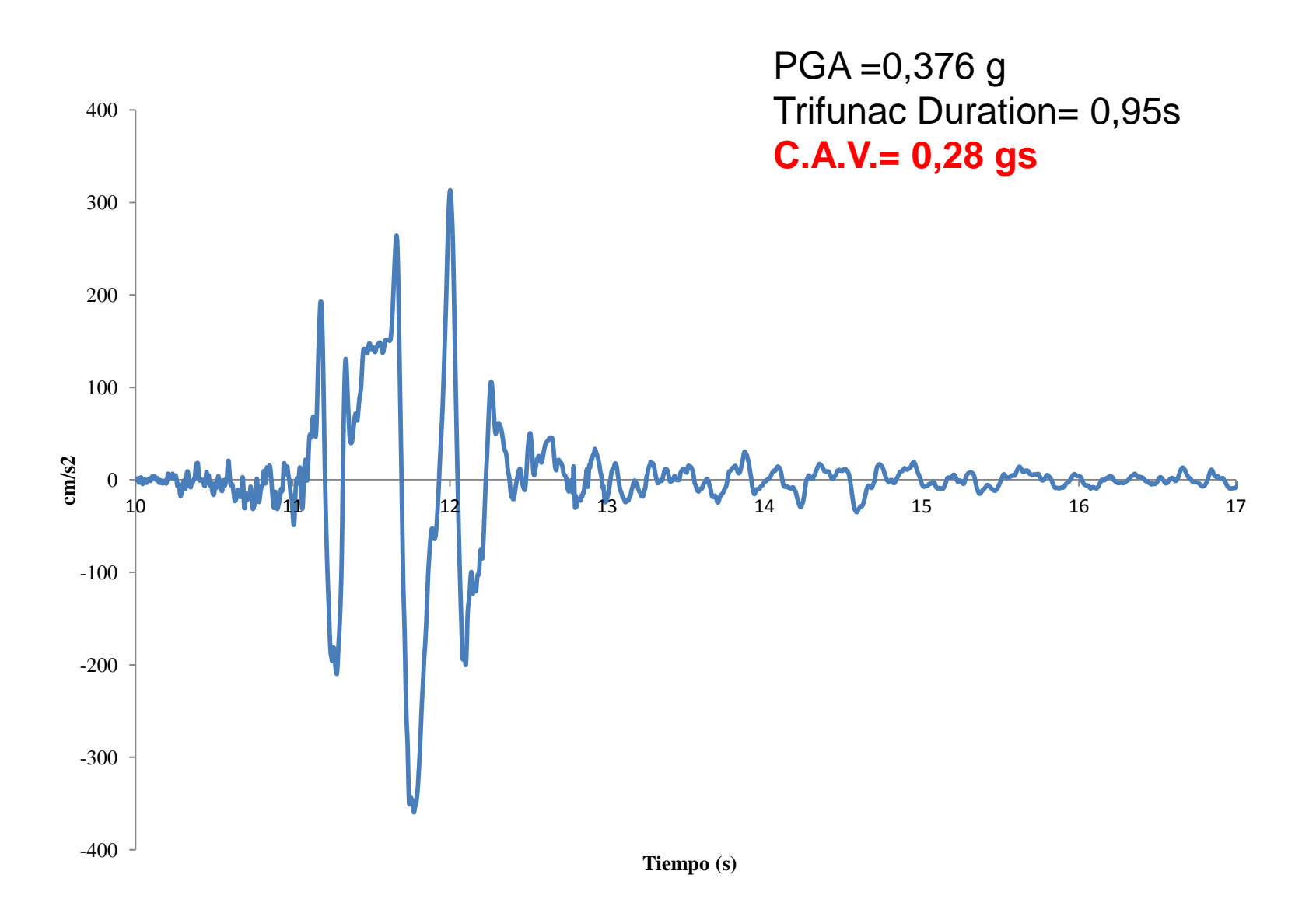
Sliding of heavy machinery towards North







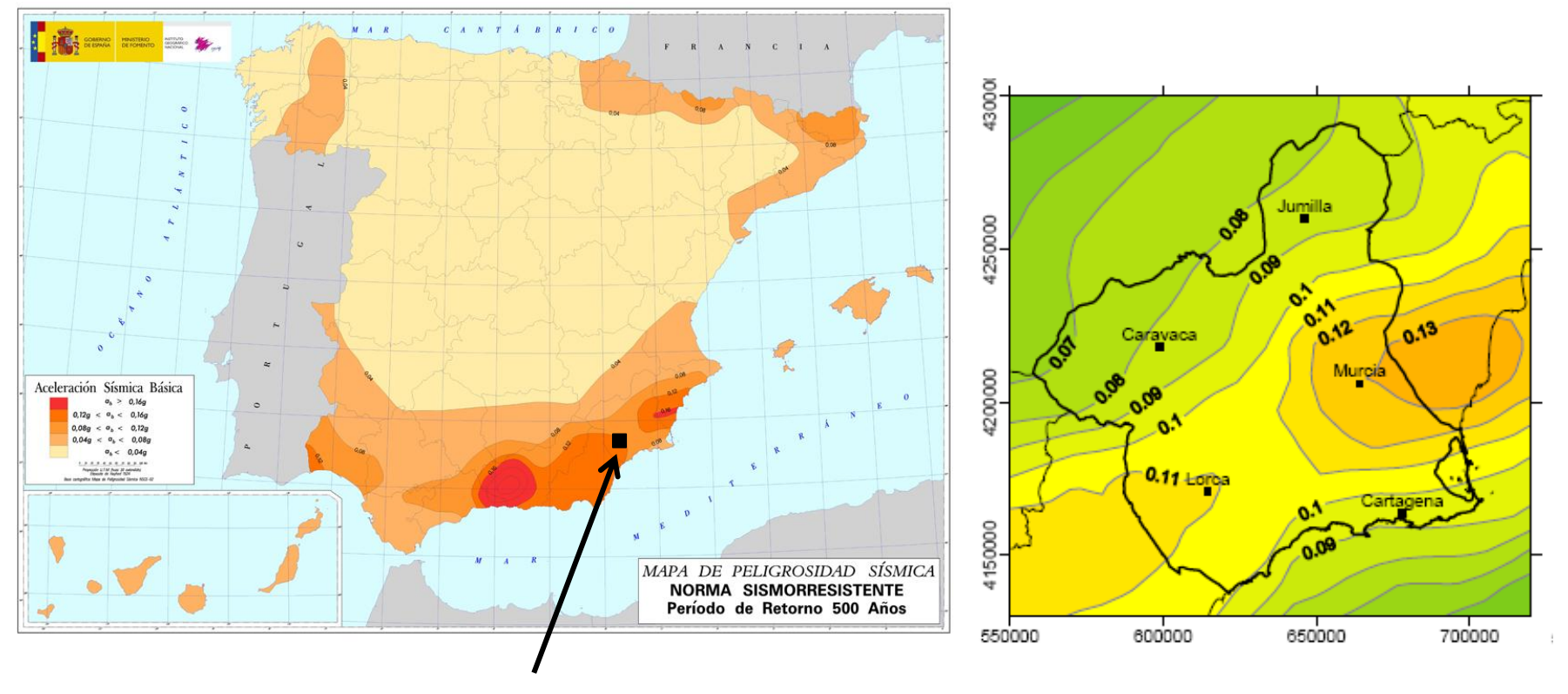
## Componente N30°O del acelerograma de Lorca







## NORMA NCSE-02 y Plan de Emergencia de la región de Murcia



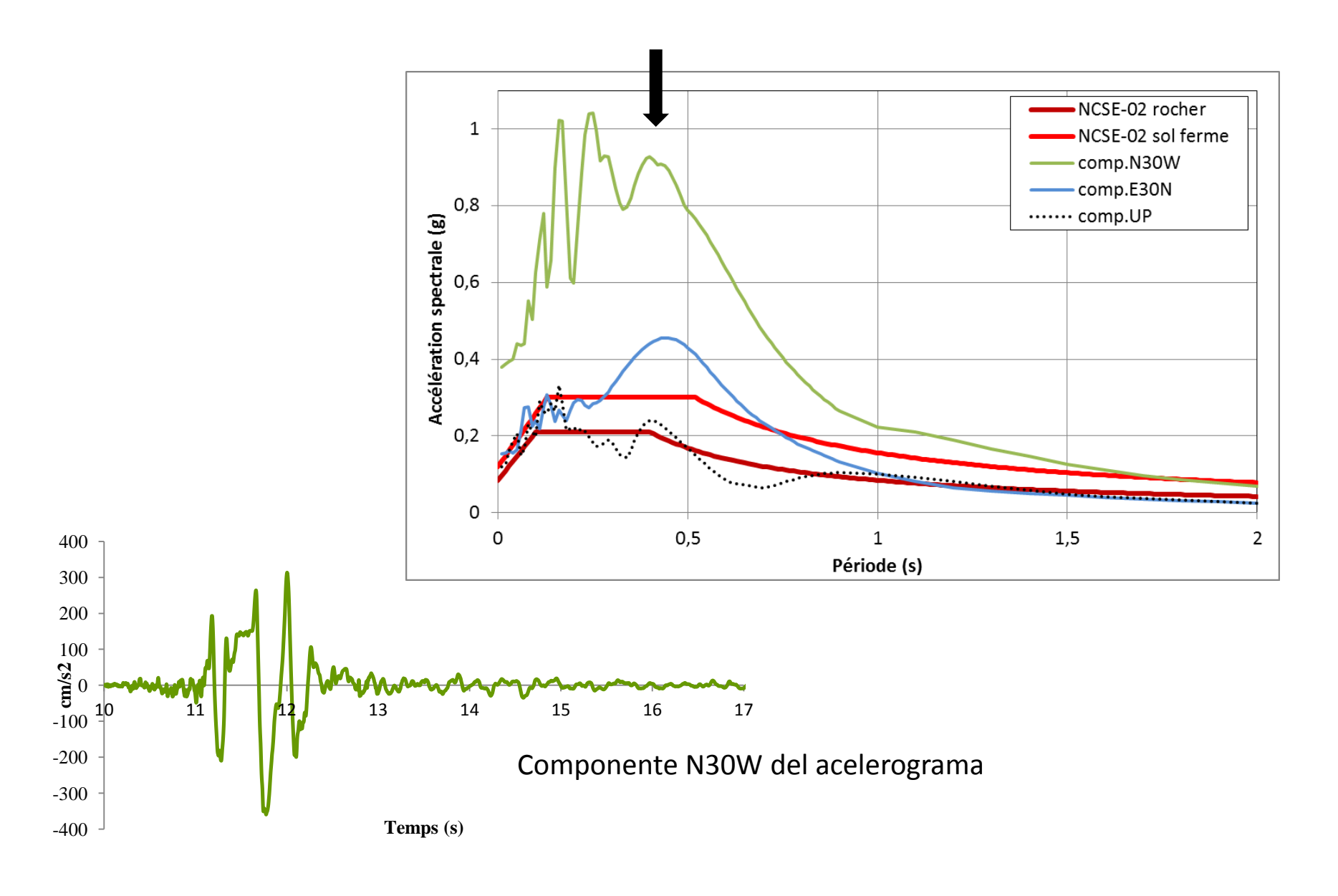
Aceleración de referencia en Lorca = 0,12g







#### Espectros de respuesta respecto espectros de NCSE-02

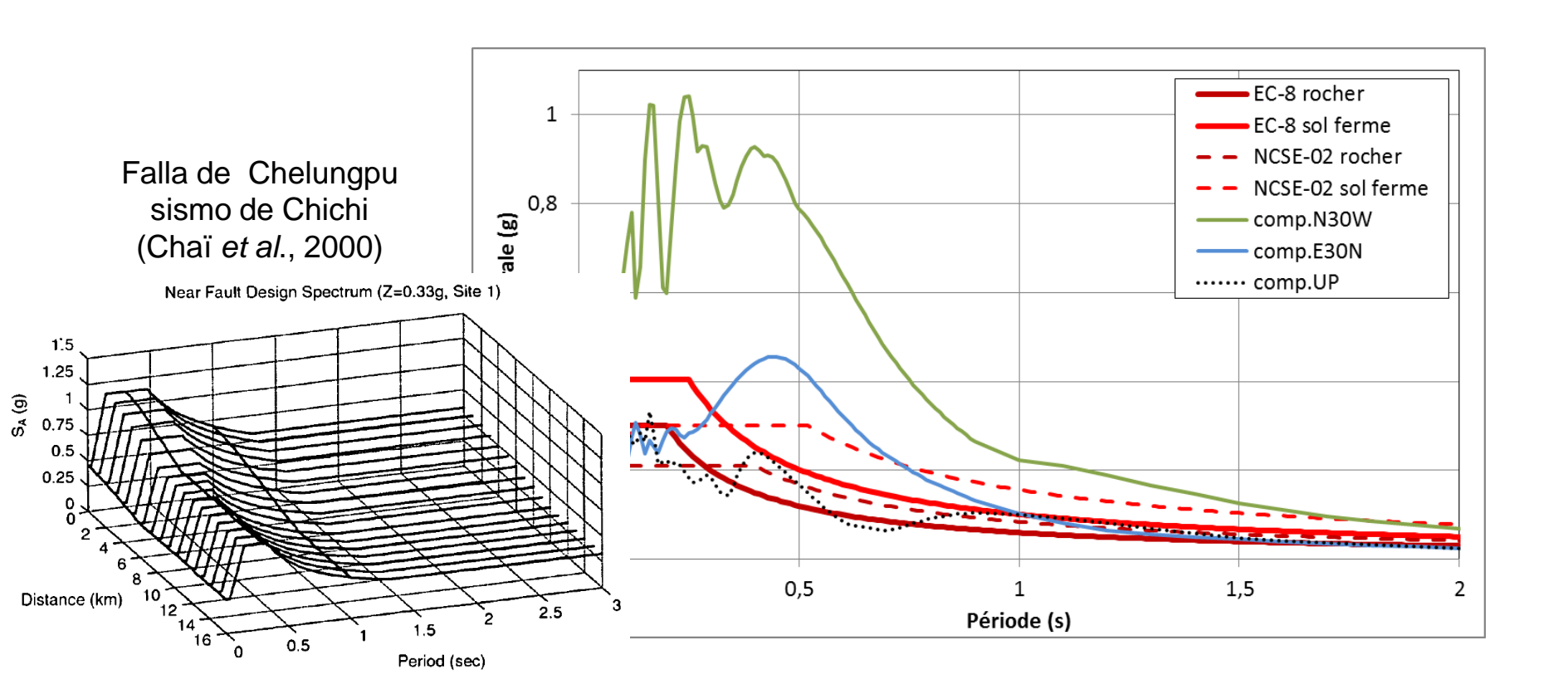








#### Espectros de respuesta respecto a espectros EC8

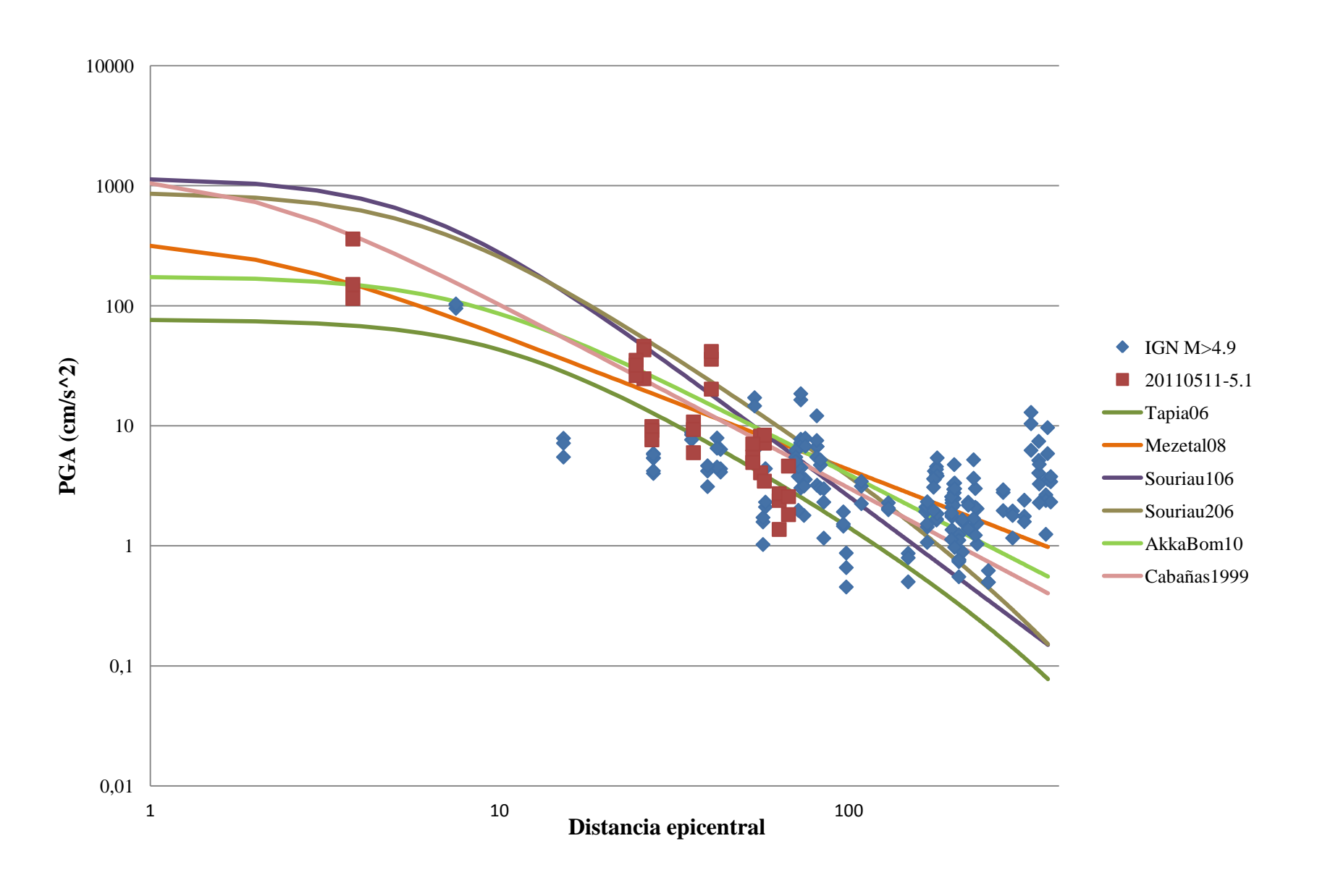


Si se retira el pico a 0,4 s, se obtiene mayor coherencia con las mesetas de los espectros EC-8





#### **PGA vs Distancia – Datos IGN**









- T. Frontera<sup>(1)</sup>, <u>A. Concha</u><sup>(1)</sup>, P. Blanco<sup>(2)</sup>, A. Echeverria<sup>(3)</sup>, X. Goula<sup>(1)</sup>, R. Arbiol<sup>(2)</sup>, G. Khazaradze<sup>(3)</sup>, F. Pérez<sup>(2)</sup> y E. Suriñach<sup>(3)</sup>
  - (1) Institut Geològic de Catalunya
- (2) Institut Cartogràfic de Catalunya
- (3) Universitat de Barcelona







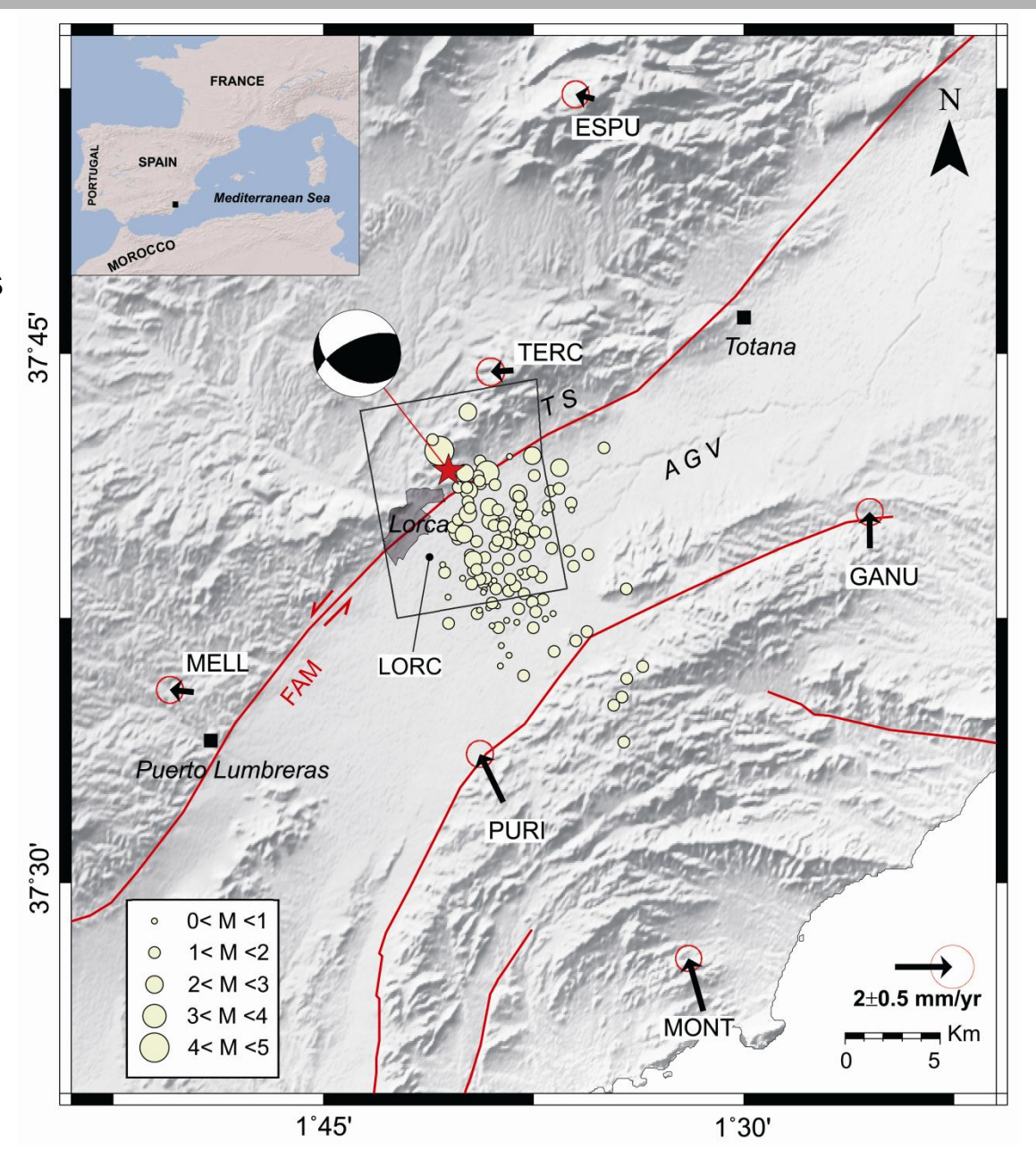




#### Seísmo principal Mw = 5.1

#### Mecanismo Focal segons DeLouis (2011)

FAM: Falla Alhama-Murcia AGV: Valle Alto Guadalentin

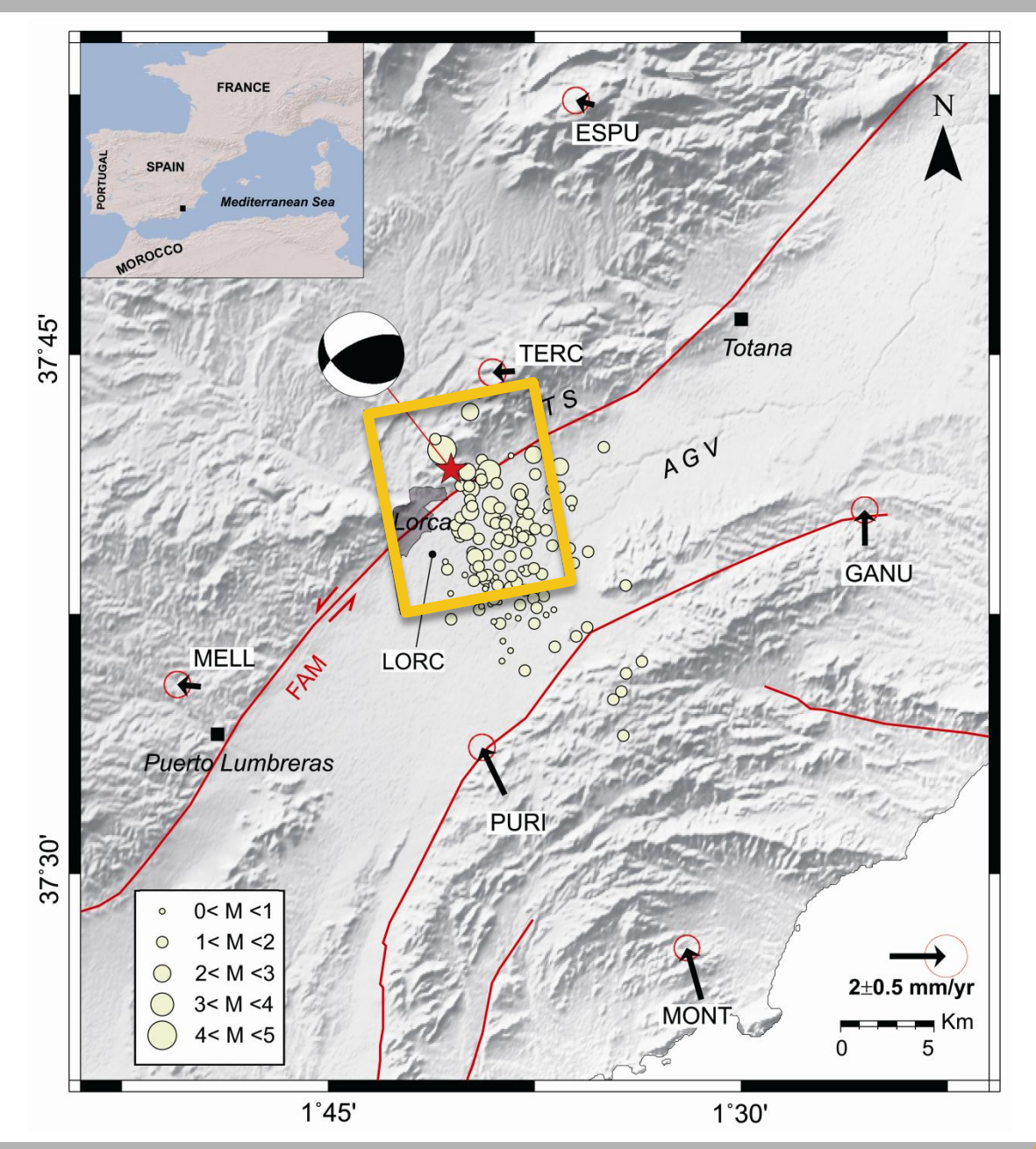






# DInSAR (ICC)

TerraSAR-X 25 julio 2008 14 mayo 2011



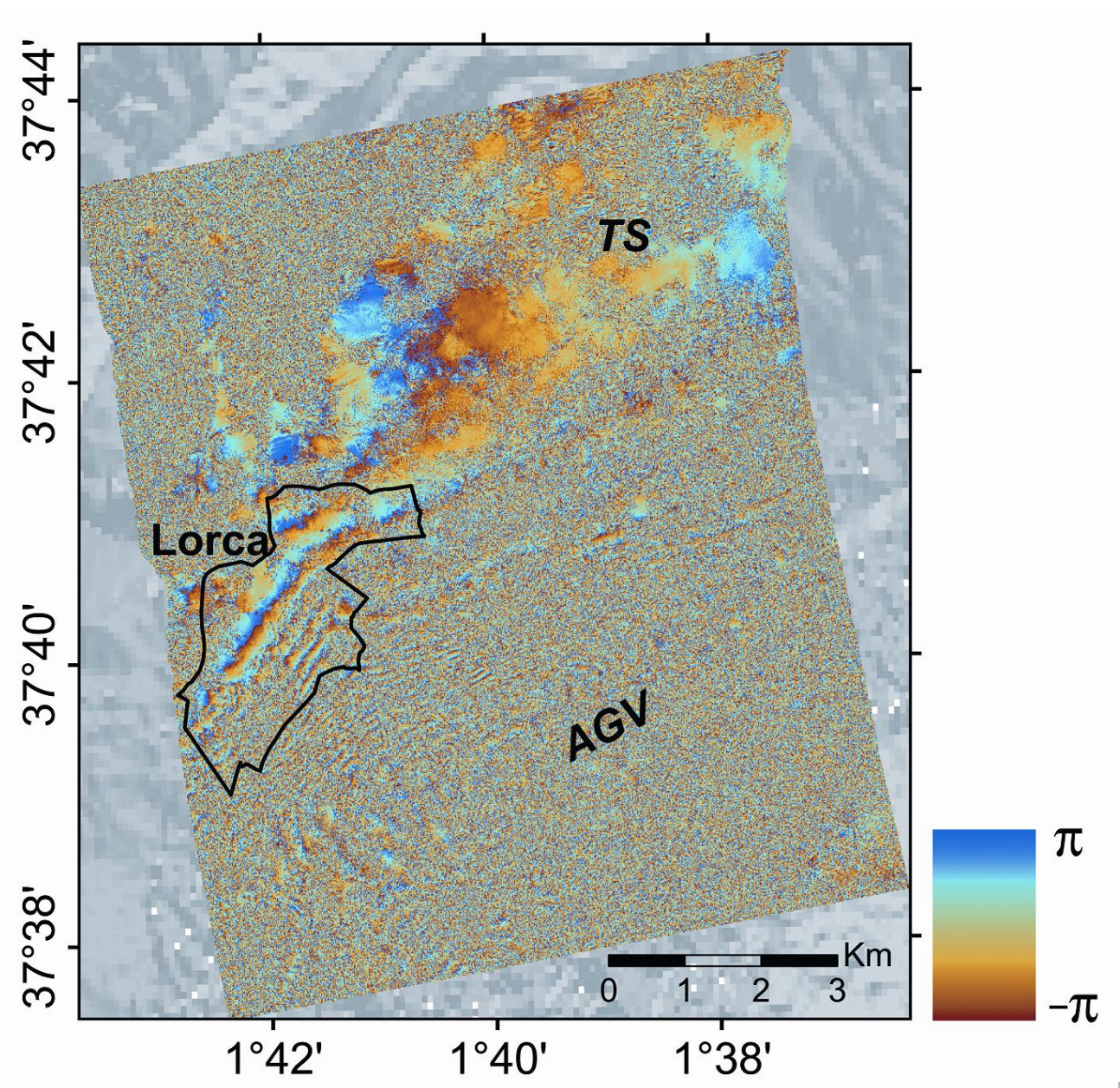




# DInSAR (ICC)

1 ciclo=1.55 cm

Movimiento sobre *line* of sight (LOS) del satélite







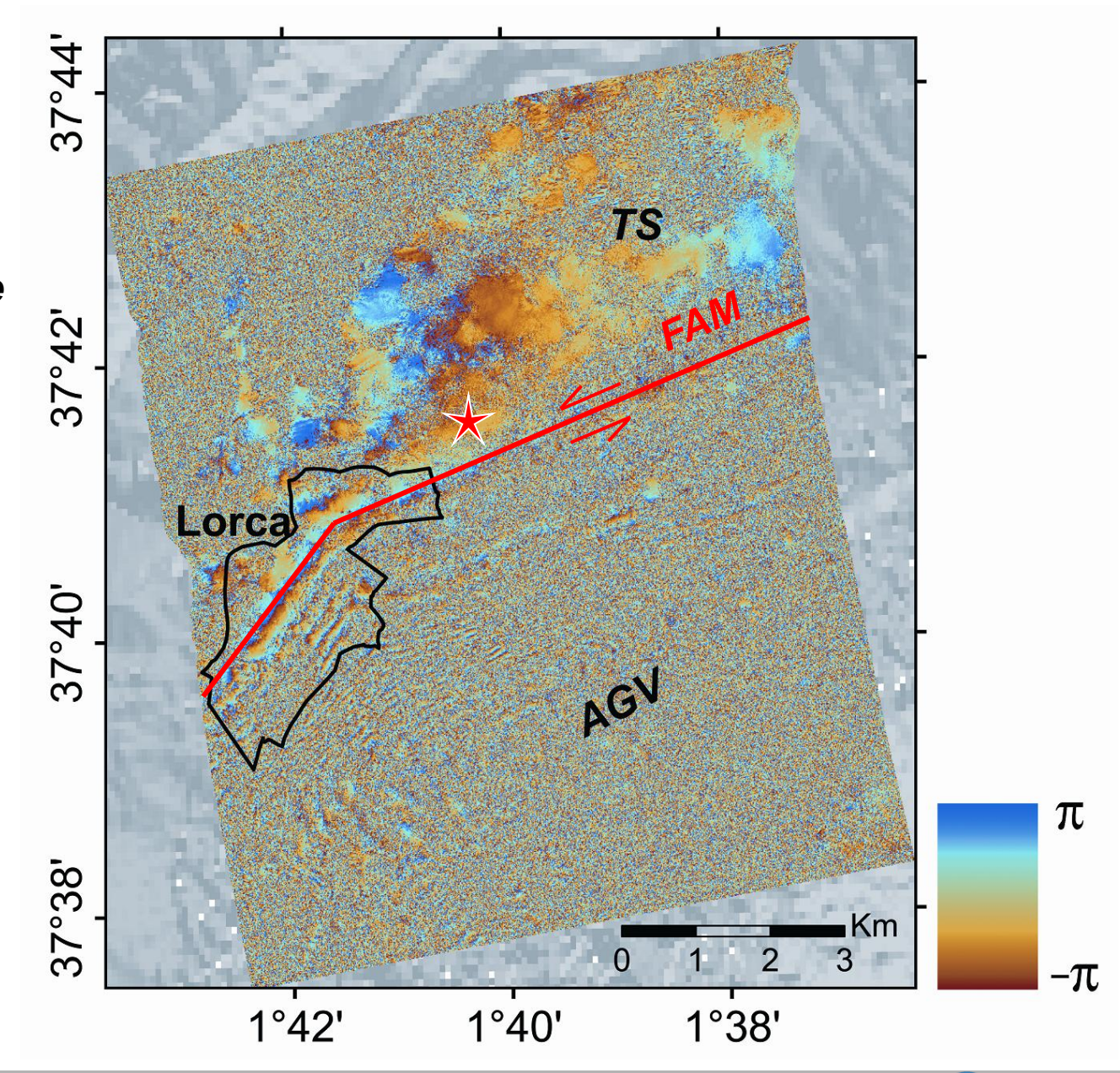
# DInSAR (ICC)

1 ciclo=1.55 cm

Movimiento sobre *line* of sight (LOS) del satélite

**EPICENTRO** \*

Dada la separació de las imágenes en el tiempo (25 julio 2008 -14 mayo 2011) ¿Qué porcentaje de este movimiento es cosísmico?





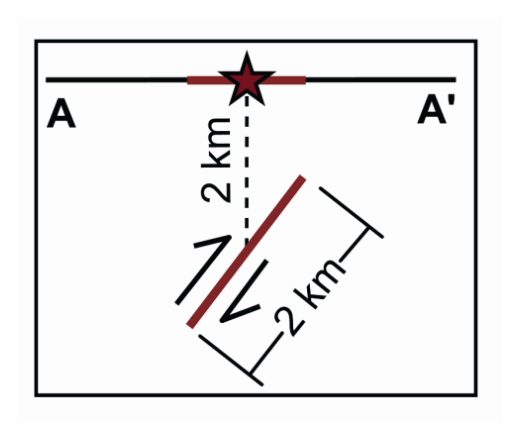


#### Modelo numérico (IGC)

Orientación del plano de ruptura

Strike	Dip	Rake	
245	65	58	

Dimensiones del plano de ruptura



#### Lorca earthquake (Spain) May 11, 2011 16h47 UTC AZUC SJAF ECAL **Result:** Strike Dip Rake NP1: 120 40 138 NP2: 245 65 58 Mw 5.1 Depth: 11km EJON Confidence on focal solution: 77% (good) : epicenter IGN Spain (37.704°, -1.673°) PFVI EMUR EMUR comp E

May 12, 2011 B. Delouis Data retrieved from Orfeus Data Center

Slip (cm)	L (km)	W (km)
15	4	2

Valores medios (Wells & Coppersmith, 1994)



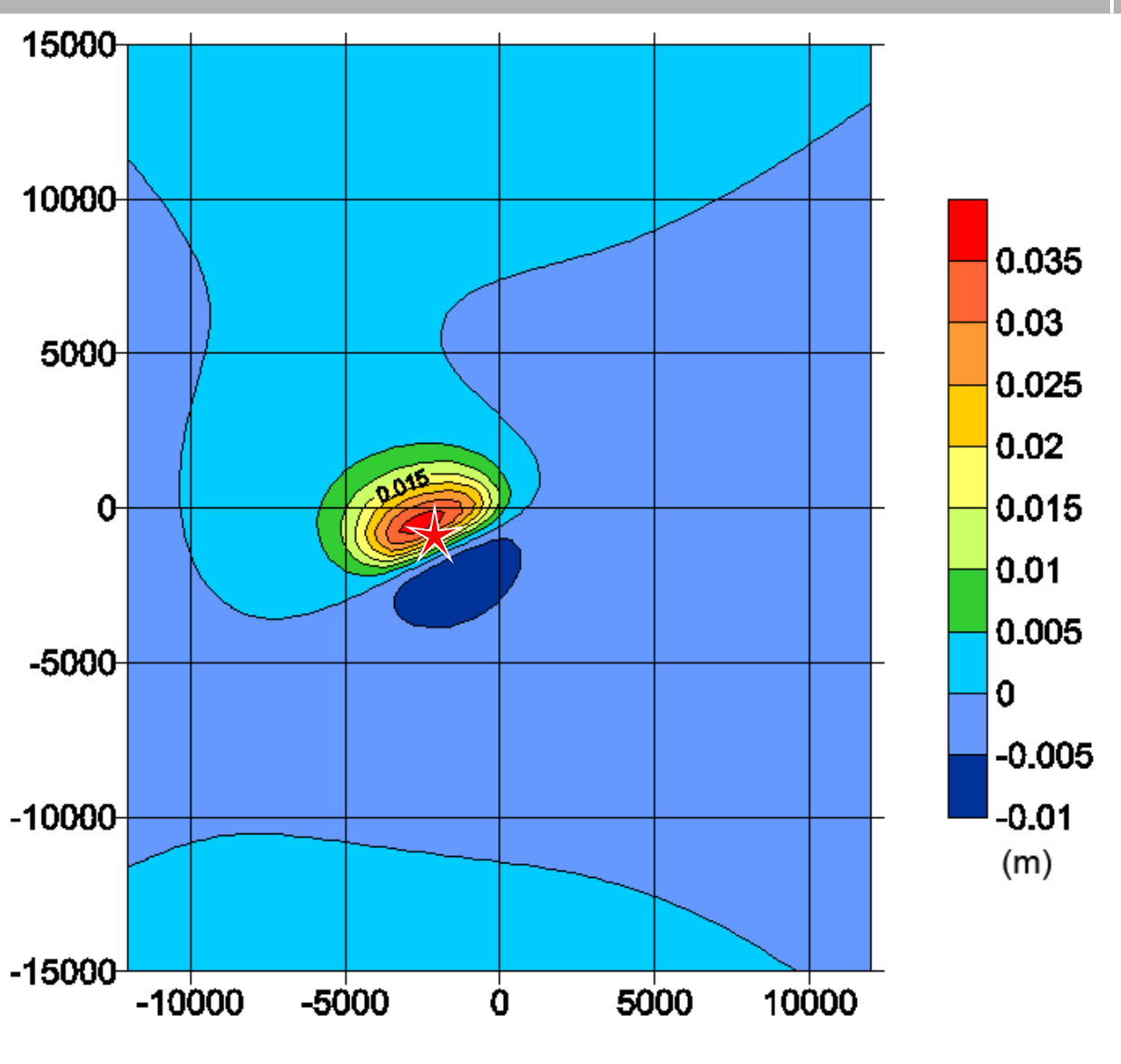




#### Modelo numérico (IGC)

Desplazamiento vertical superficial

**EPICENTRO** ★



 $(0,0) = (-1.6514^{\circ} E, 37.6975^{\circ} N)$ 

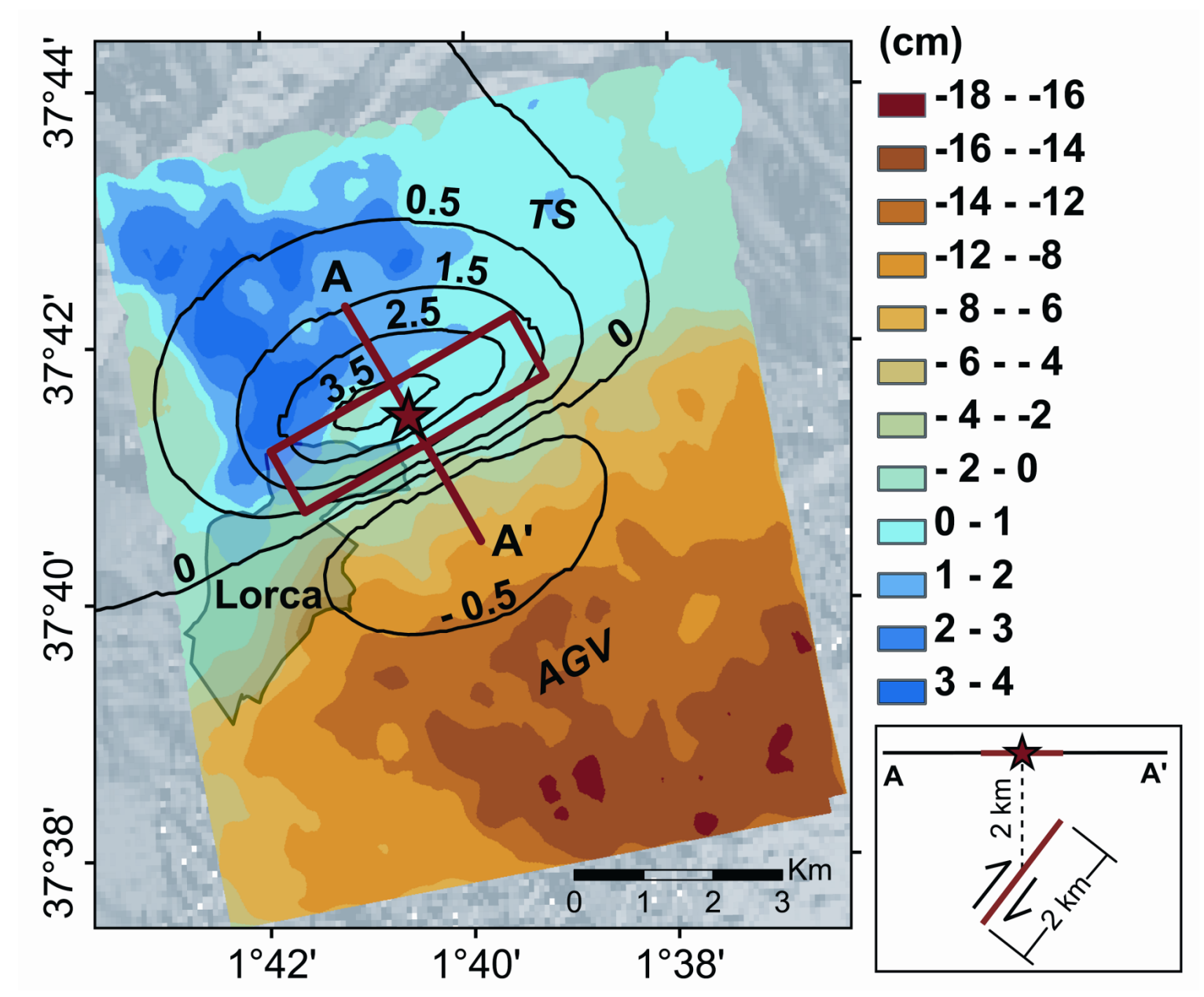
epicentro: -1.6756° E, 37.6945° N















Técnica	Máx. depl. vertical bloque N (mm)	Máx. depl. vertical bloque S (mm)	Tasa despl. vertical (mm / año)
DInSAR (2008-2011) (este estudio)	+ 30	-180	- 64.2
Modelo numérico (este estudio)	+ 40	- 10	-
DInSAR (1992-2011) (González y Fernández, 2011)	-	-	- 100 *

<sup>\*</sup> Medidas realizadas antes del terremoto de Lorca (11/05/2011)

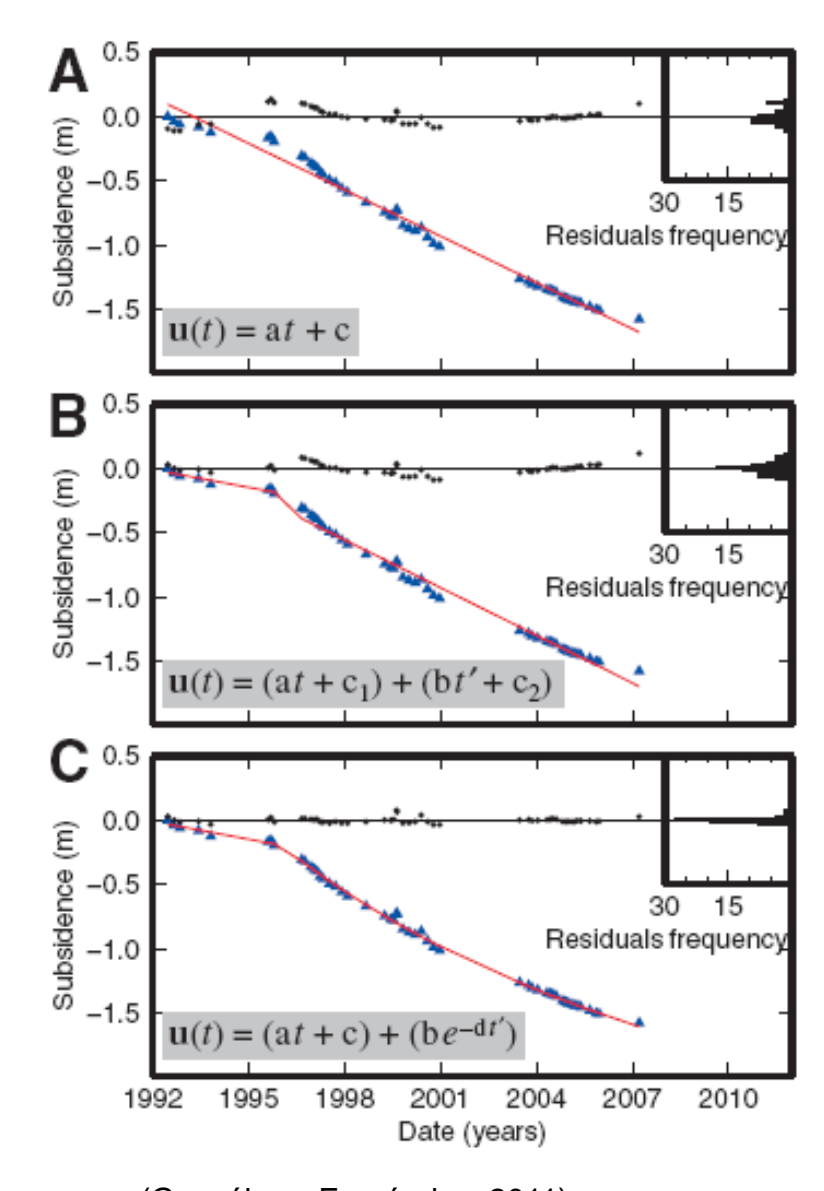
(González y Fernández, 2011)





Técnica	Máx. depl. vertical bloque N (mm)	Máx. depl. vertical bloque S (mm)	Tasa despl. vertical (mm / año)
DInSAR (2008-2011) (este estudio)	+ 30	-180	- 64.2
Modelo numérico (este estudio)	+ 40	- 10	-
DInSAR (1992-2011) (González y Fernández, 2011)	-	-	- 100 *

<sup>\*</sup> Medidas realizadas antes del terremoto de Lorca (11/05/2011)



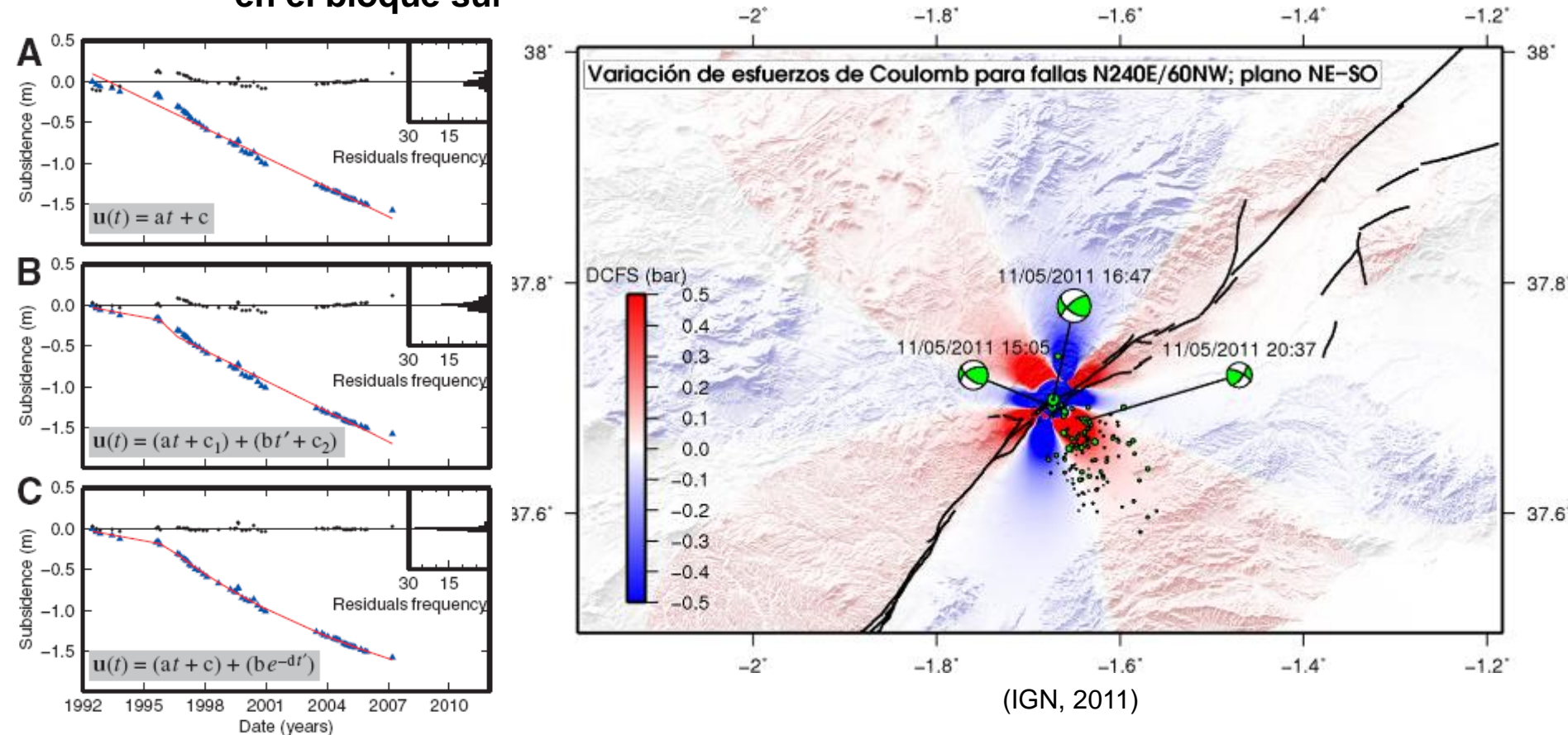
(González y Fernández, 2011)







La extracción de agua es una componente importante de los movimientos verticales en el bloque sur



(González y Fernández, 2011)

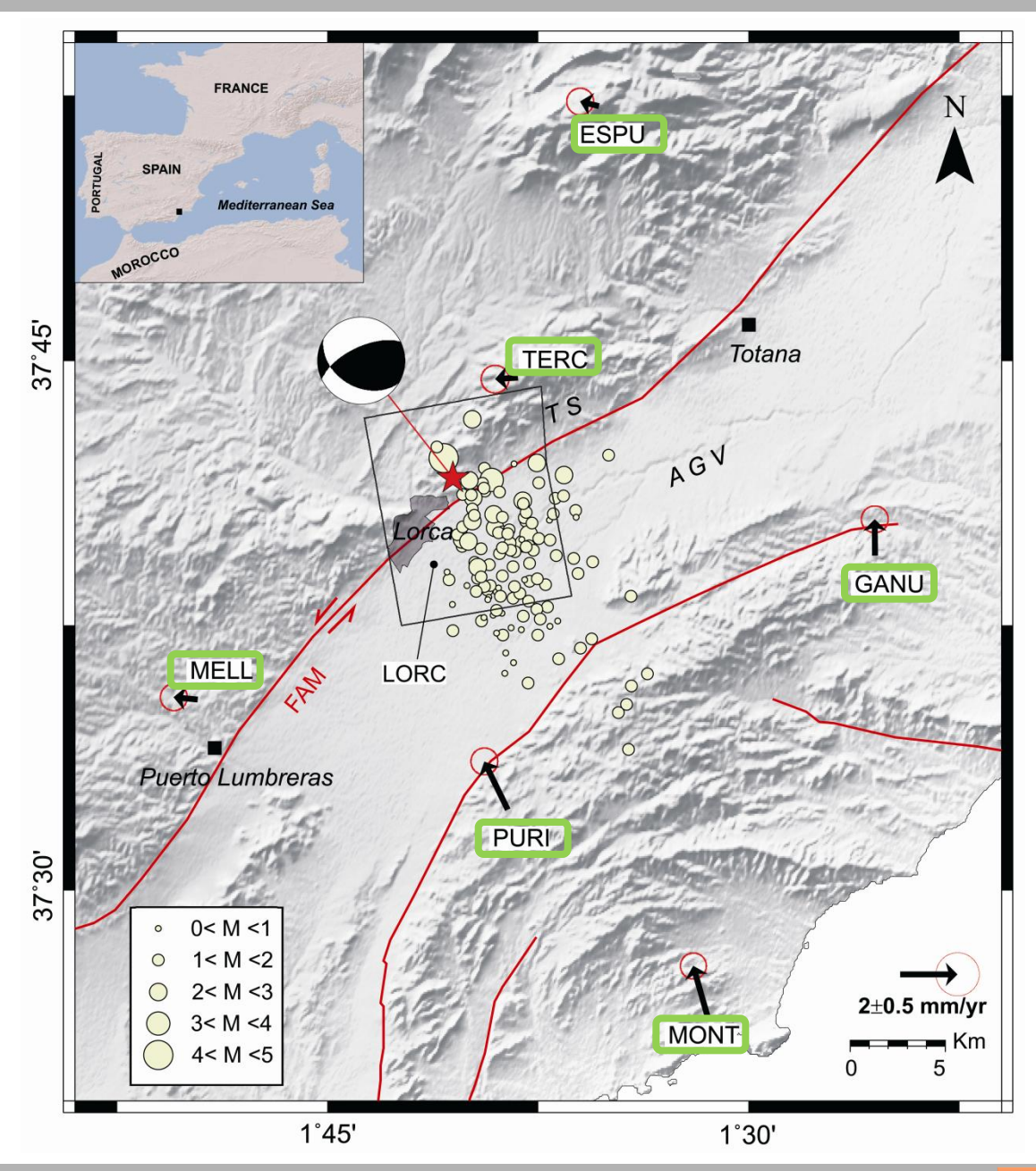
Extracción de agua y concentración alta de esfuerzos ¿podrian controlar la ubicación de las replicas observadas?





#### GPS (UB) Red CuaTeNeo

PURI y GANU 1.9 0.5 mm/yr respecto a MELL y TERC

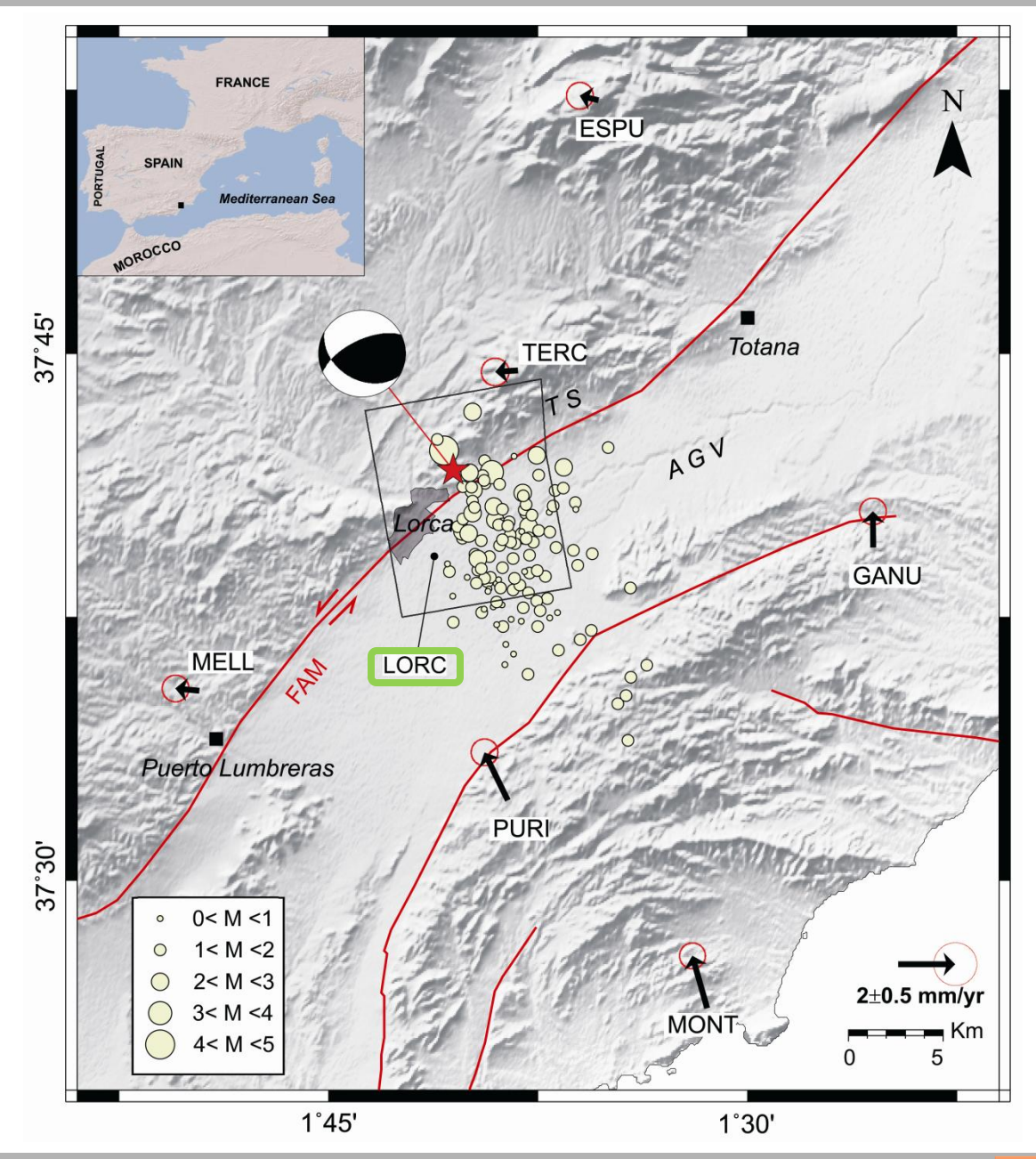






# **GPS**Red Meristemum

**LORC** 

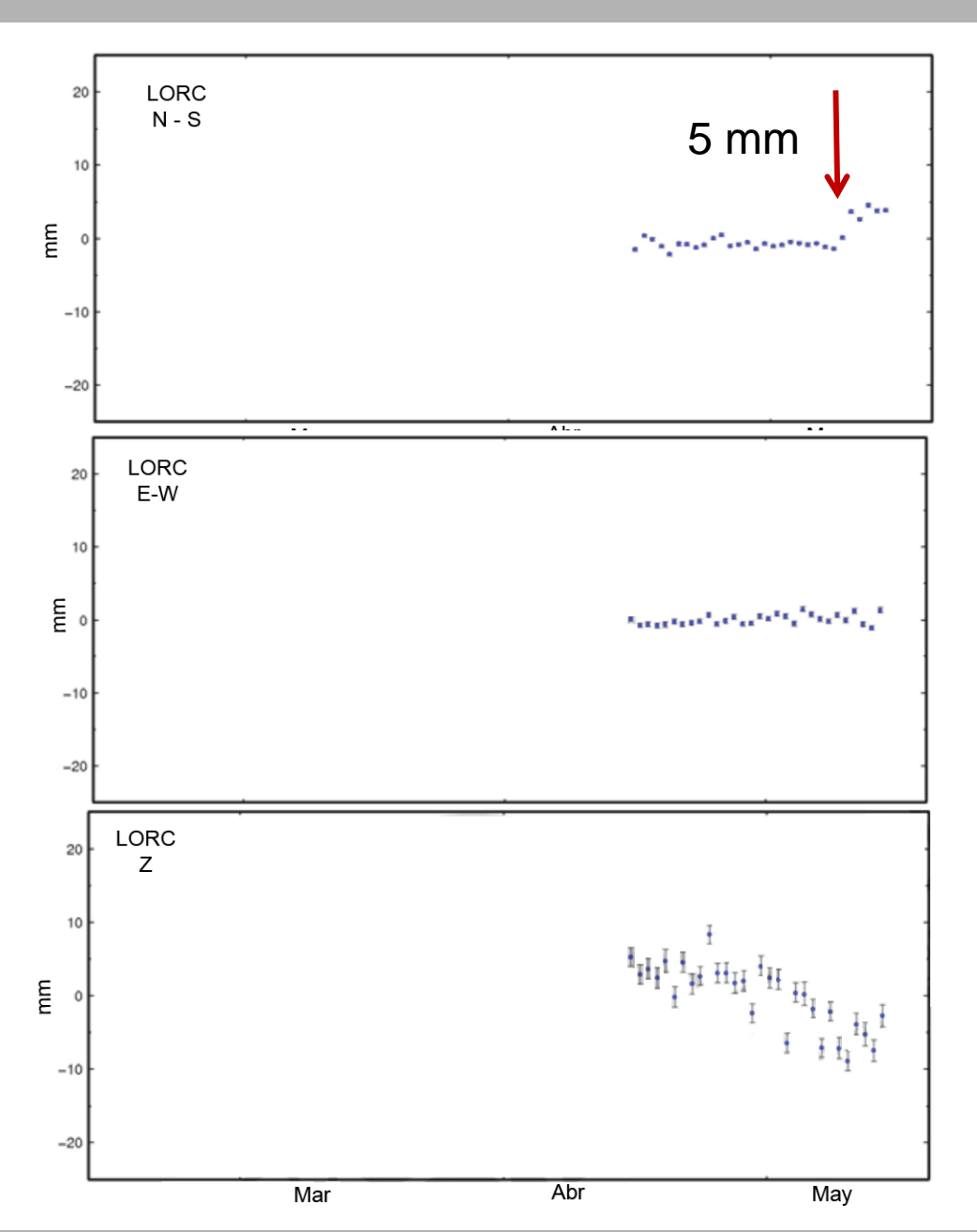






**GPS**Red Meristemum

Componentes de movimiento en la estación LORC



(IGN, 2011)



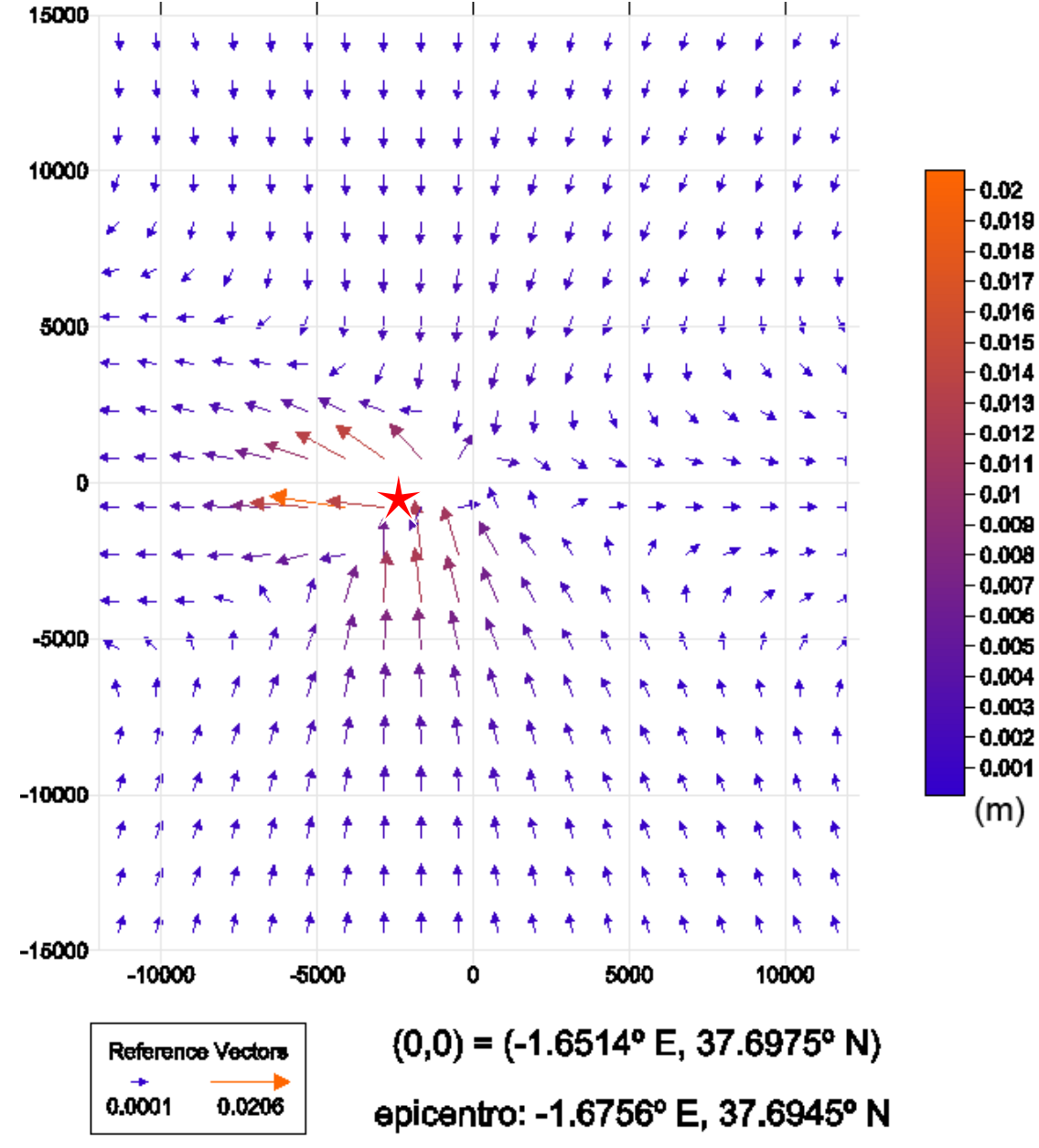




#### Modelo numérico

# Desplazamiento horizontal

**EPICENTRO** ★







5 mm

LORC:

**Red GPS** 

Meristemum

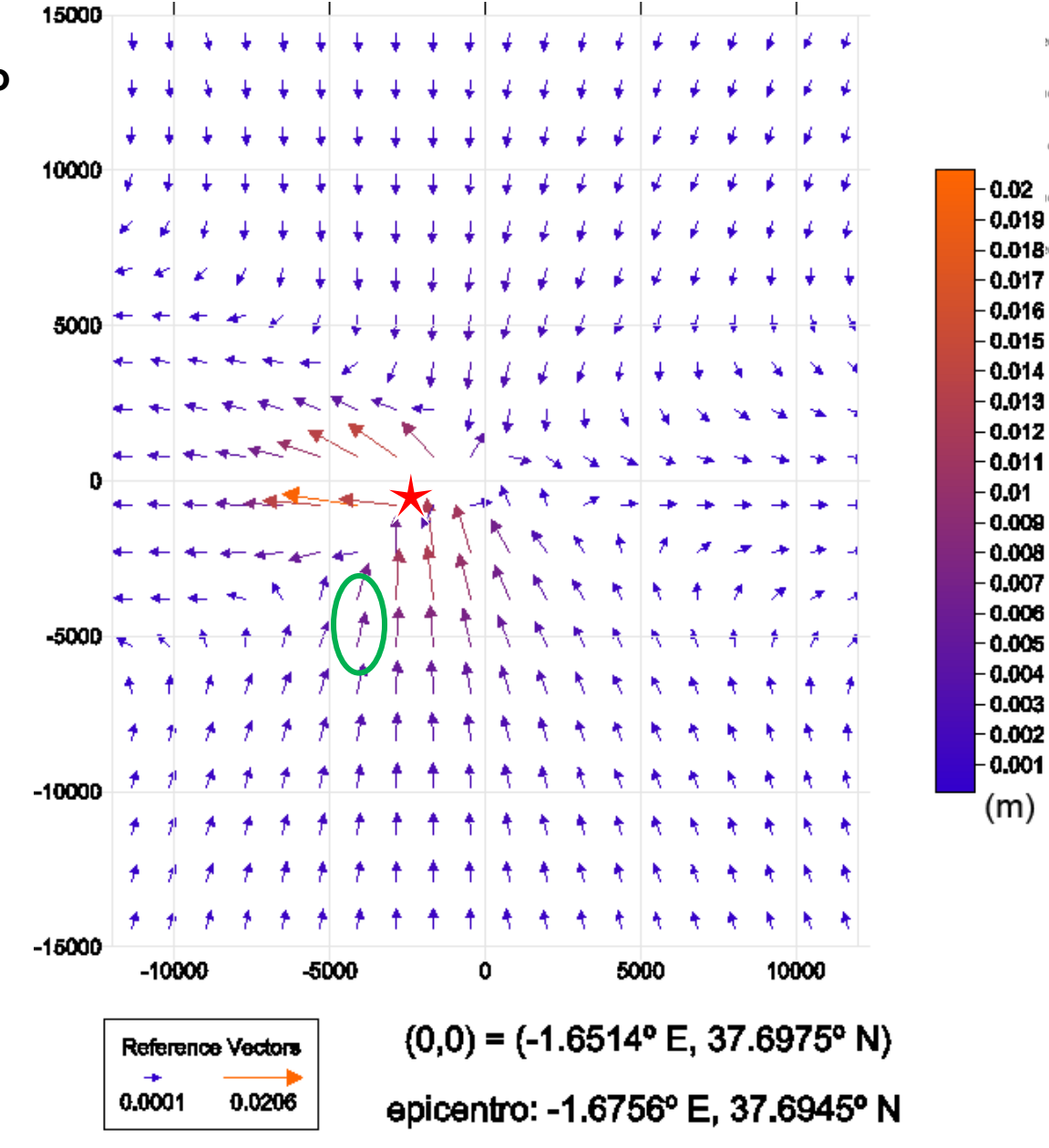
May

LORC N - S

#### Modelo numérico

# Desplazamiento horizontal

**EPICENTRO** ★









#### **Conclusiones**

- La técnica DinSAR representa una herramienta de uso rápido y de costos relativamente bajos que permite evaluar los movimientos del terreno cubriendo grandes extensiones.
- La existencia de redes de monitoreo GPS permiten una caracterización detallada y precisa de los movimientos del terreno. En zonas tectónicamente activas resultan de gran valor para el monitoreo constante de les estructuras geológicas o de eventos sísmicos repentinos.
- -Este estudio multidisciplinario combina técnicas geodésicas de monitoreo con modelos numéricos de ruptura que permiten evaluar y verificar los movimientos cosísmicos e identificarlos y separarlos de otros posibles fenómenos que generan movimientos verticales del terreno.
- -En el caso del evento de Lorca, se pudo separar la componente de movimientos cosísmicos (repentinos) de los ocasionados por subsidencia por extracción de agua en el bloque sur de la falla (constantes e incluso mas grandes que los cosísmicos).





Solid Earth Discuss., 3, 1-12, 2011 www.solid-earth-discuss.net/3/1/2011/ doi:10.5194/sed-3-1-2011 © Author(s) 2011. CC Attribution 3.0 License.



This discussion paper is/has been under review for the journal Solid Earth (SE). Please refer to the corresponding final paper in SE if available.

# DInSAR coseismic deformation of the May 2011 M<sub>w</sub> 5.1 Lorca earthquake, (Southern Spain)

T. Frontera<sup>1</sup>, A. Concha<sup>2</sup>, P. Blanco<sup>3</sup>, A. Echeverria<sup>4</sup>, X. Goula<sup>1</sup>, R. Arbiol<sup>3</sup>, G. Khazaradze<sup>4</sup>, F. Pérez<sup>3</sup>, and E. Suriñach<sup>4</sup>

Received: 14 October 2011 - Accepted: 24 October 2011 - Published:

Correspondence to: T. Frontera (tfrontera@igc.cat)

Published by Copernicus Publications on behalf of the European Geosciences Union.



SED

3, 1-12, 2011

Discussion Paper

Discussion Paper

Discussion Paper

Discussion Paper

DInSAR coseismic deformation of the May 2011 Lorca earthquake

T. Frontera et al.

Title Page Introduction Abstract Conclusions References **Figures** Tables ы Back Close Full Screen / Esc Printer-friendly Version Interactive Discussion





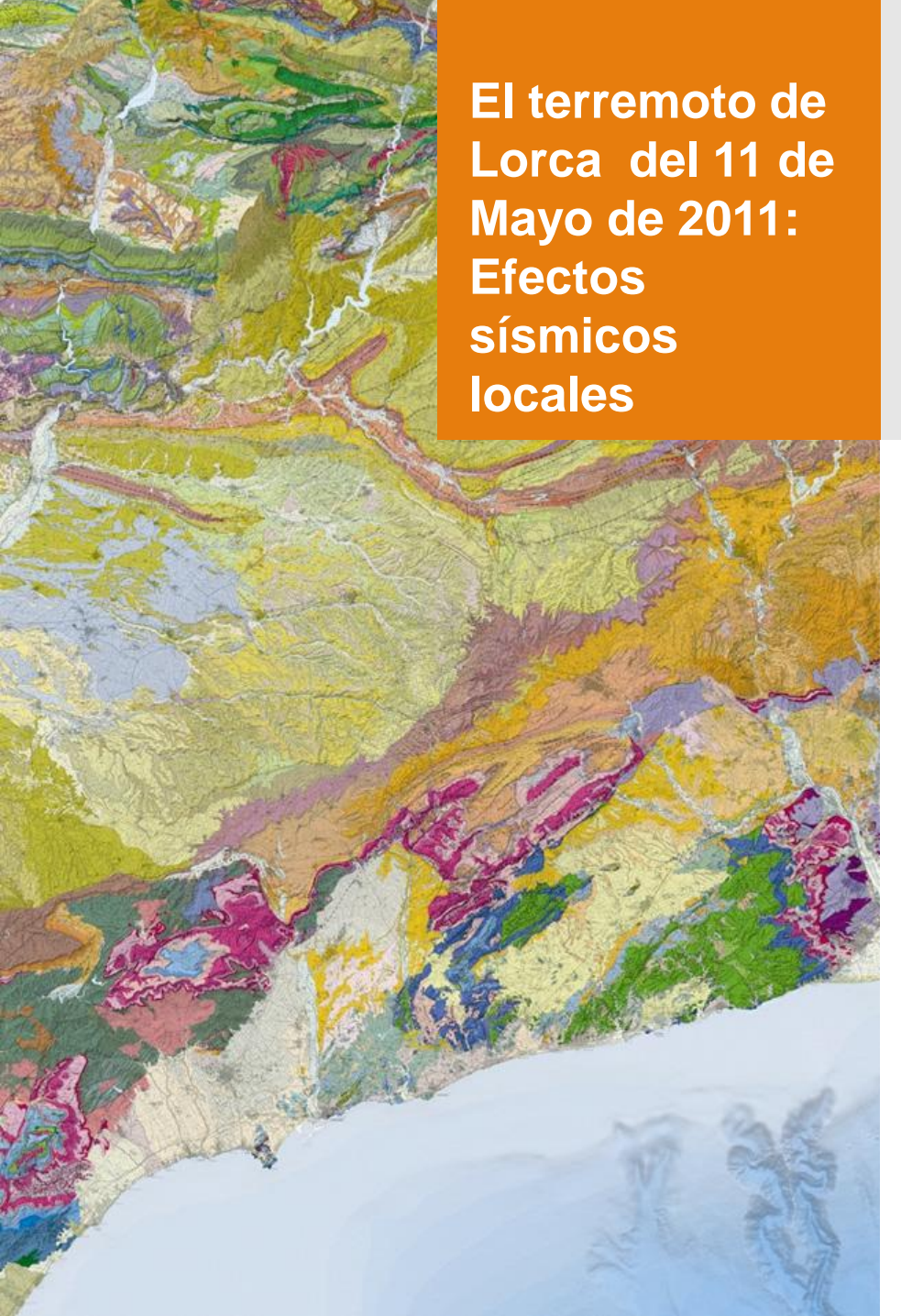


<sup>&</sup>lt;sup>1</sup>Institut Geològic de Catalunya, Seismology Dept., Balmes 209–211, Barcelona 08006, Spain

<sup>&</sup>lt;sup>2</sup>Institut Geològic de Catalunya, Geological Engineering and Hazards Dept., Balmes 209-211, Barcelona 08006, Spain

<sup>&</sup>lt;sup>3</sup>Institut Cartogràfic de Catalunya, Remote Sensing Dept., Parc de Montjuïc s/n, Barcelona 08038, Spain

<sup>&</sup>lt;sup>4</sup>Universitat de Barcelona, Geodynamics and Geophysics Dept., Martí i Franquès s/n, Barcelona 08028, Spain



Sara Figueras (1)

Albert Macau (1)

Myriam Belvaux (2)

- (1) Instituto Geológico de Catalunya IGC
- (2) Bureau de Recherches Géologiques et Minières. BRGM (Francia)











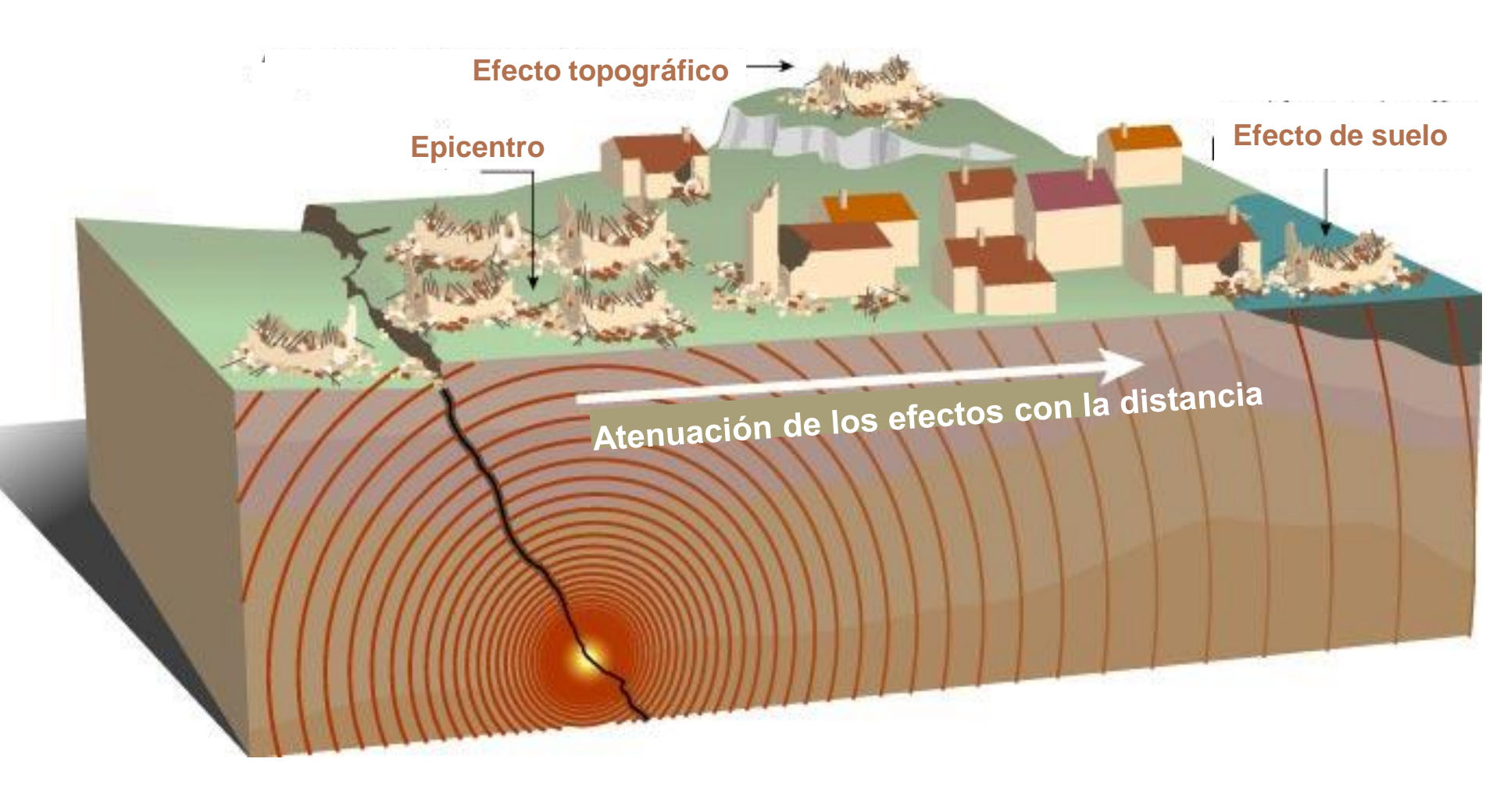
#### Contenido

- Los efectos sísmicos locales.
- Intervención post sísmica en Lorca.
- Modelización de la respuesta sísmica del suelo.
- Conclusiones.





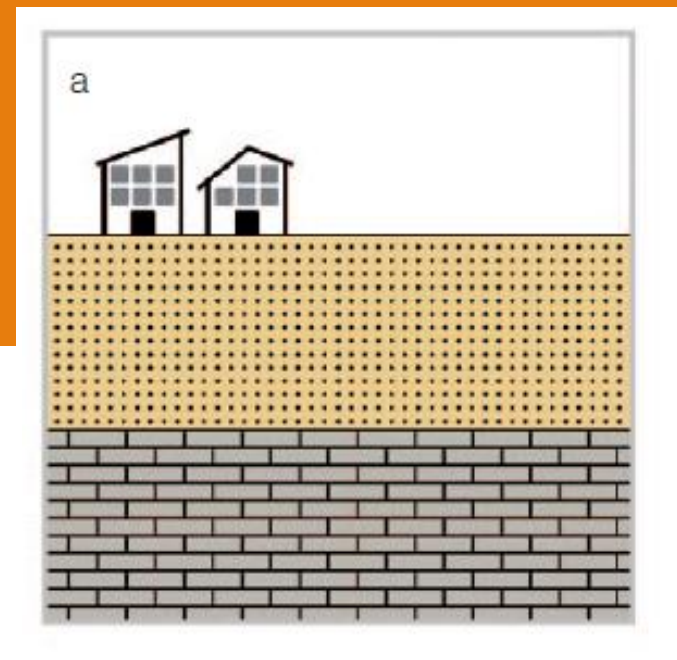
# Los efectos sísmicos locales

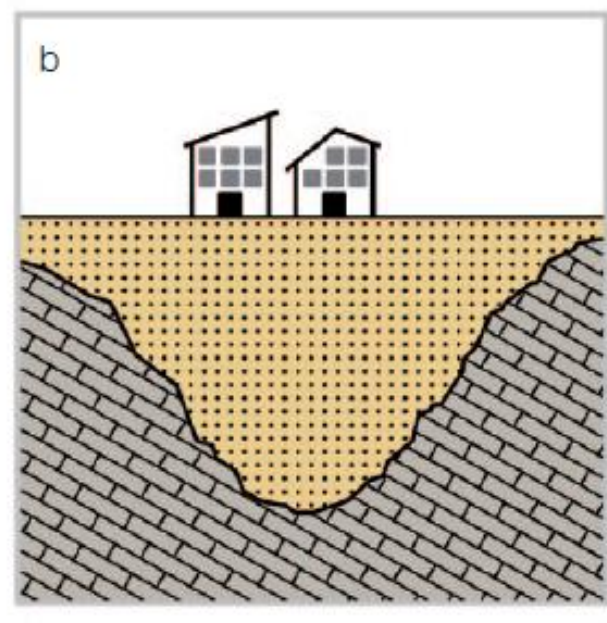




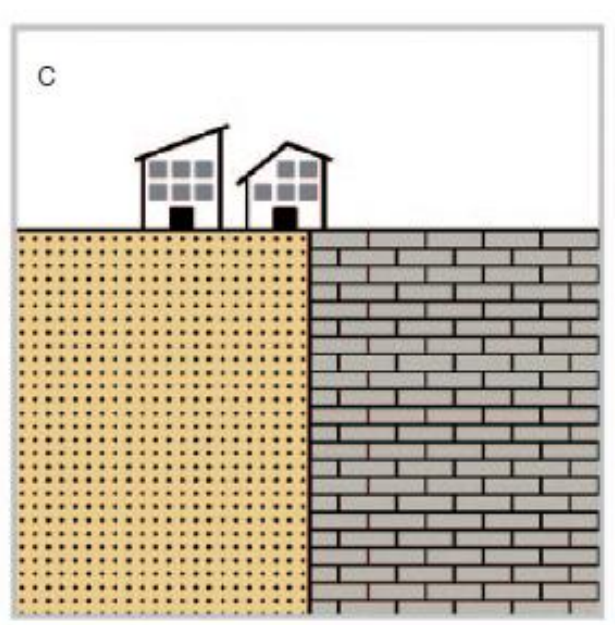


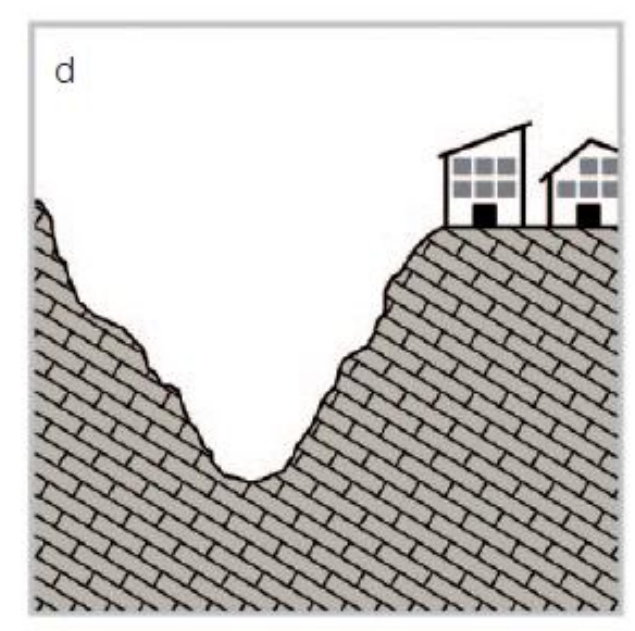
Estructuras y configuraciones típicas que pueden generar efectos locales





- Capas sedimentarias horizontales sobre un sustrato rocoso.
- Relleno sedimentario de un valle.
- Fuertes discontinuidades laterales.
- d) Relieves (efecto topográfico).







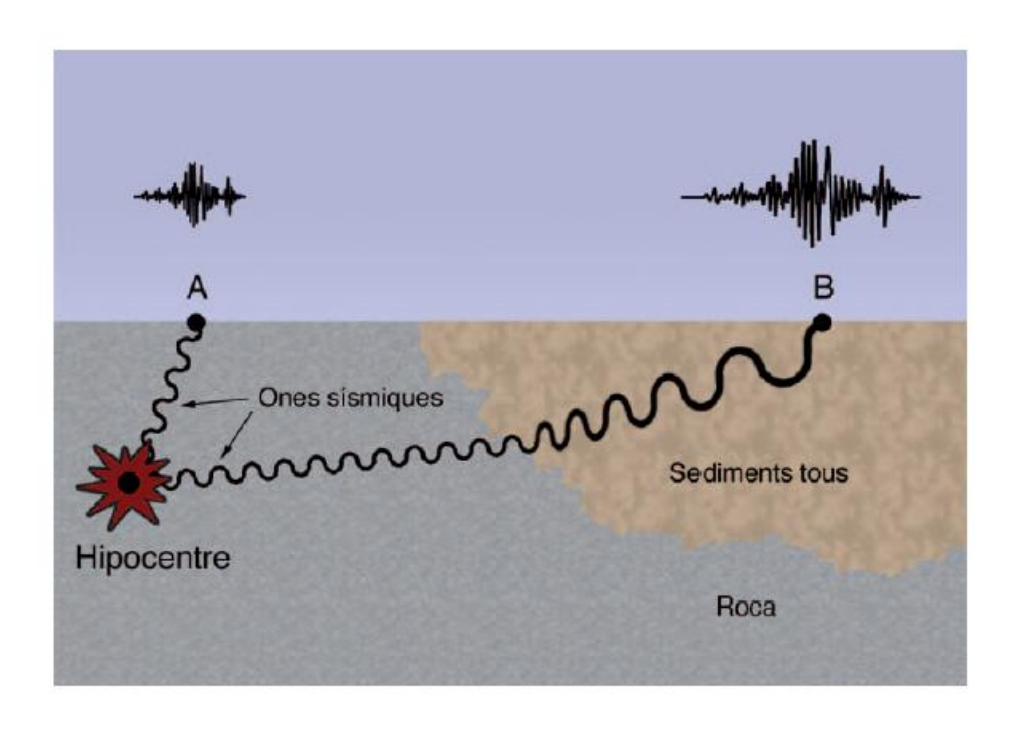




#### Efectos sísmicos locales

#### Efectos de suelo:

Amplificación del movimiento del suelo debida a las características geológicas, litológicas y geomecánicas de las formaciones superficiales.



- Efecto topográfico: Amplificación del movimiento del suelo en la cima de los relieves respecto a la base.
- Efectos inducidos: licuefacción y deslizamientos de ladera.



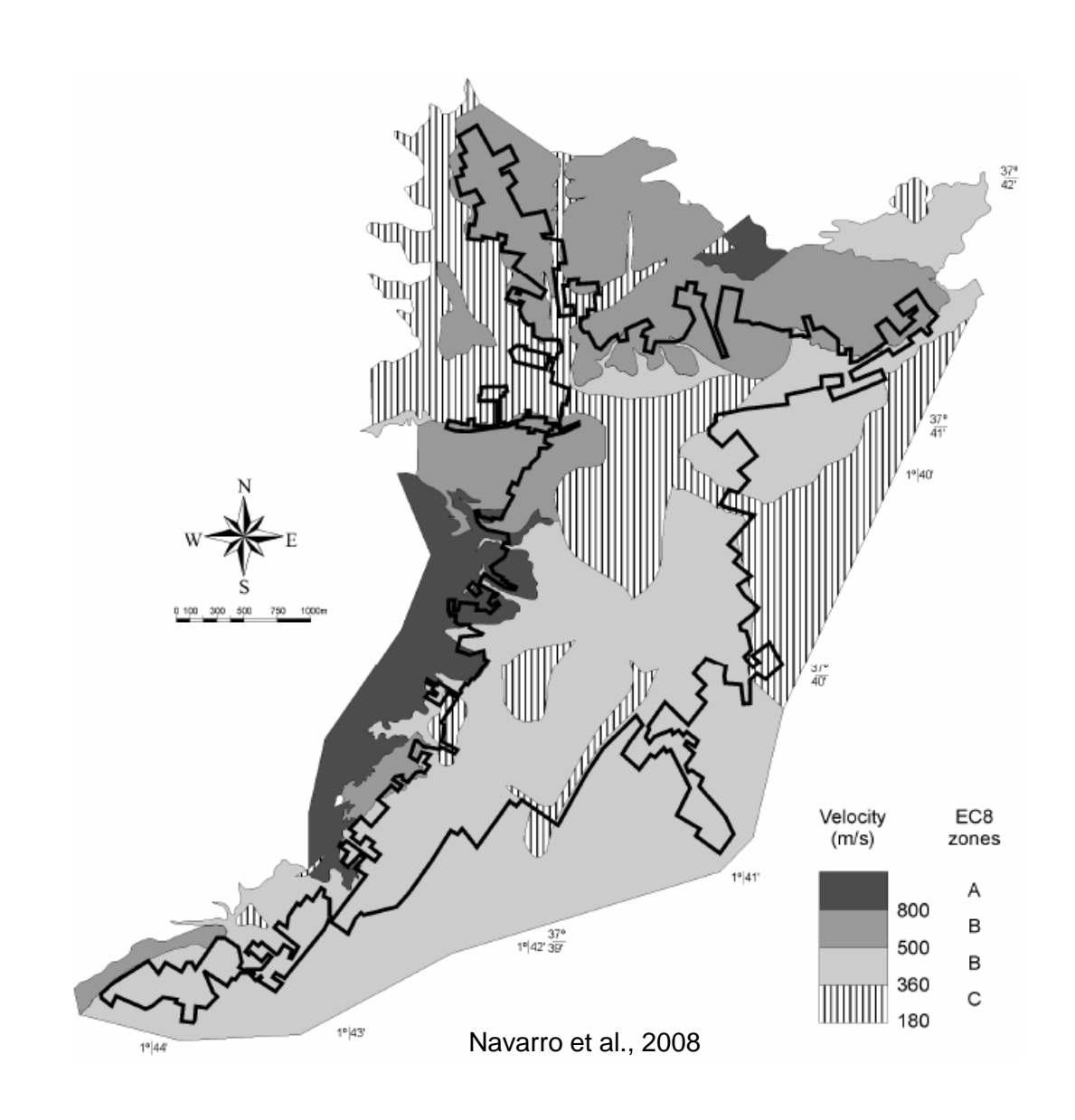




# Efectos de suelo durante el sismo de Lorca?

## **Estudios previos**

- Escala regional:
   RISMUR
   SISMIMUR, DGPC,2006
- Escala local:
   ITGE, 1992
   Navarro et al., 2006
   Navarro et al., 2008







# Efectos de suelo durante el sismo de Lorca?

- Diferencias geográficas en la distribución de daños en los edificios:
  - El sector mas afectado fue el barrio de la Viña, el más alejado del epicentro
  - Mas daños en los edificios situados en el llano que en los de la parte alta de la ciudad

Tipo	Total	Total	% daños
Suelo	Edificios	Dañados	sobre total
IA	369	24	6,50%
IB	1006	74	7,36%
Ш	2013	127	6,31%
III	3374	664	19,68%

IGN-IGME, 2011



Posibles efectos de suelo





#### El terremoto de Lorca del 11 de Mayo de 2011: Efectos sísmicos locales

# Intervención postsísmica en Lorca

Fecha: 24-27 de mayo de 2011.

Participantes: Myriam Belvaux (BRGM)

Albert Macau (IGC)

Sara Figueras (IGC)

Apoyo logístico: Policía local de Lorca

Agustín Fernández

Pedro Servet

Antonio Fernández











# Objetivo:

Comprobar posibles efectos de suelo en la ciudad de Lorca.

## Campaña de campo

#### Como?

Caracterización de la capa de suelos poco consolidados a partir de registros de ruido sísmico:

Técnica del cociente espectral H/V Técnica de "array"

Caracterización de la respuesta sísmica (FT):

Registro de réplicas en distintos emplazamientos.





# Instrumentación

#### H/V:

4 sensores LE 5s + CityShark (IGC,BRGM)



#### Array:

11 sensores 1Hz + Summit (IGC)



### Réplicas:

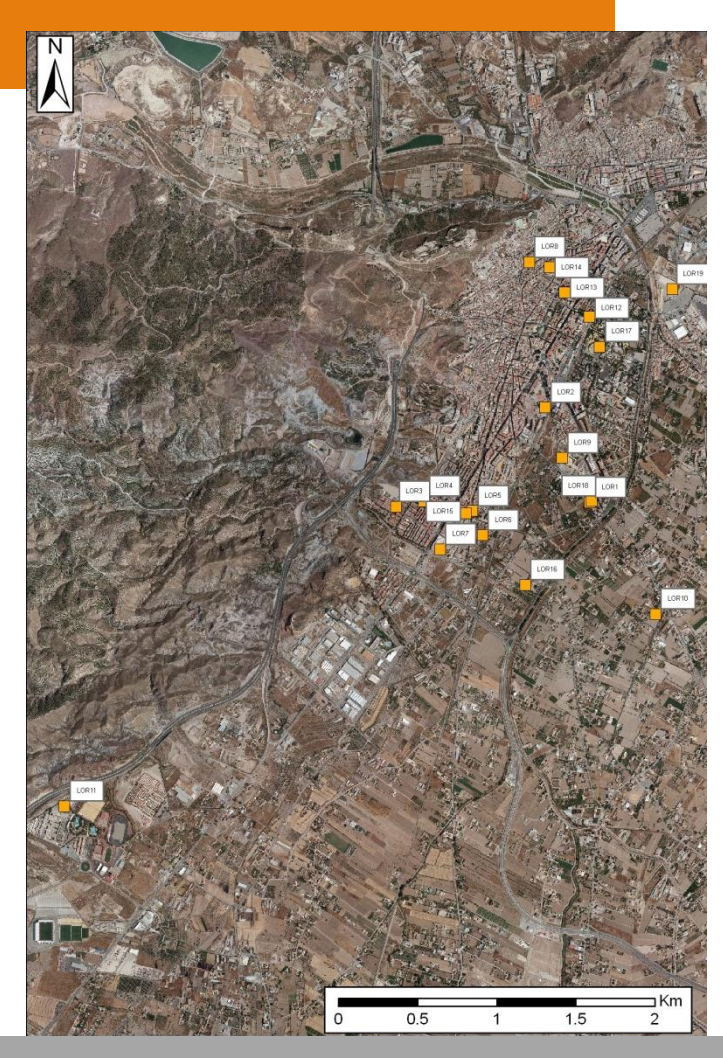
3 sensores LE 5s + Spider (IGC)







#### **Técnica H/V**



Registro puntual de ruido sísmico. Se obtienen la frecuencia fundamental de vibración del suelo

Medidas en 19 emplazamientos.















Intervención postsísmica en Lorca

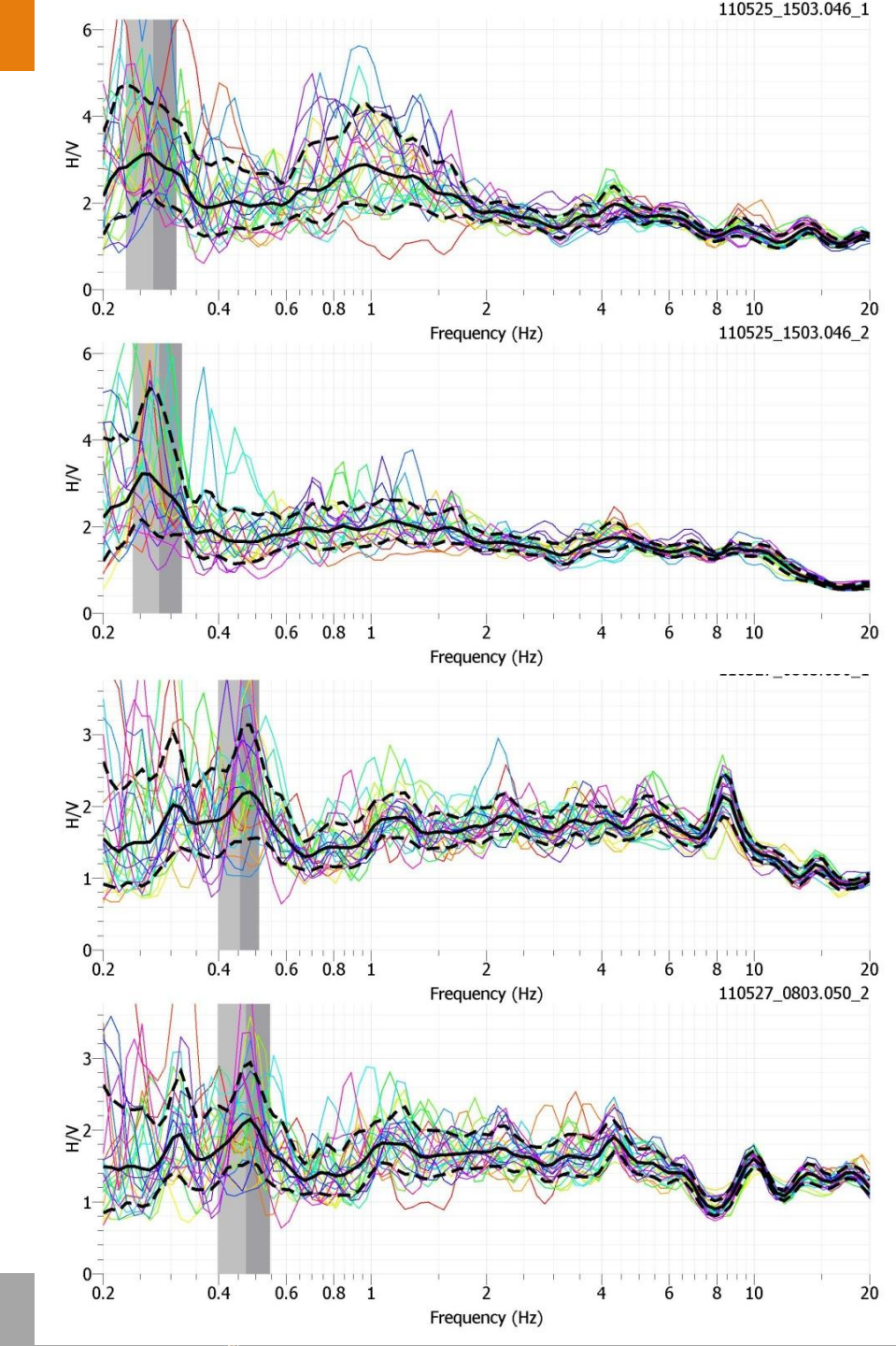
# Técnica H/V: Resultados

 Valores bajos de la frecuencia fundamental del suelo : 0.25 – 0.50 Hz

Depósitos de suelos con espesores de centenares de metros. Efecto de valle?

- Picos con poca amplificación (<3) y mucha dispersión. No se aprecian contrastes suelo/roca importantes
- Varios picos: Heterogeneidad vertical del terreno, contribución de varias capas.

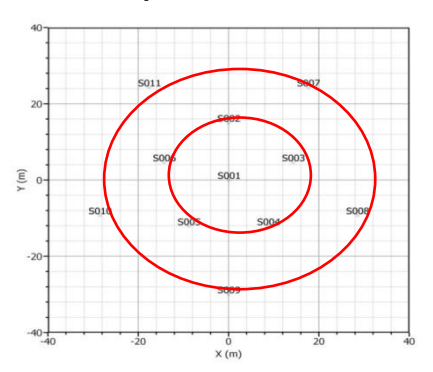
Aparentemente no se observan efectos de suelo destacados



# Técnica de array

Registro simultaneo de ruido sísmico.

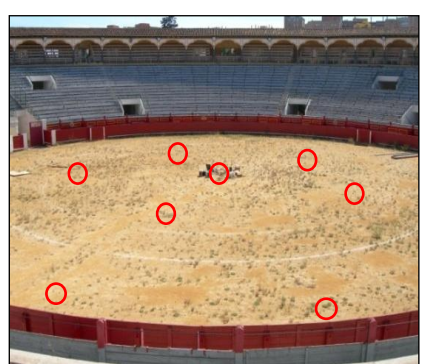
Obtención del perfil de Vs con la profundidad









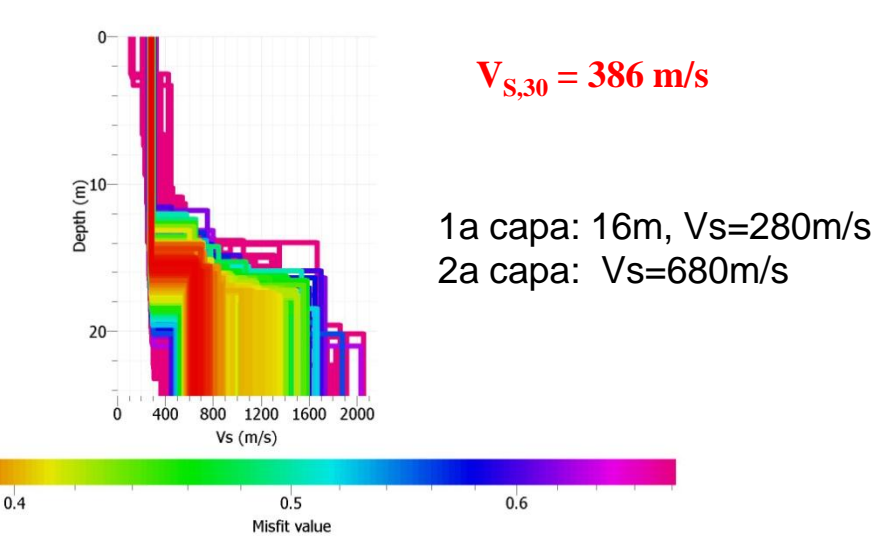




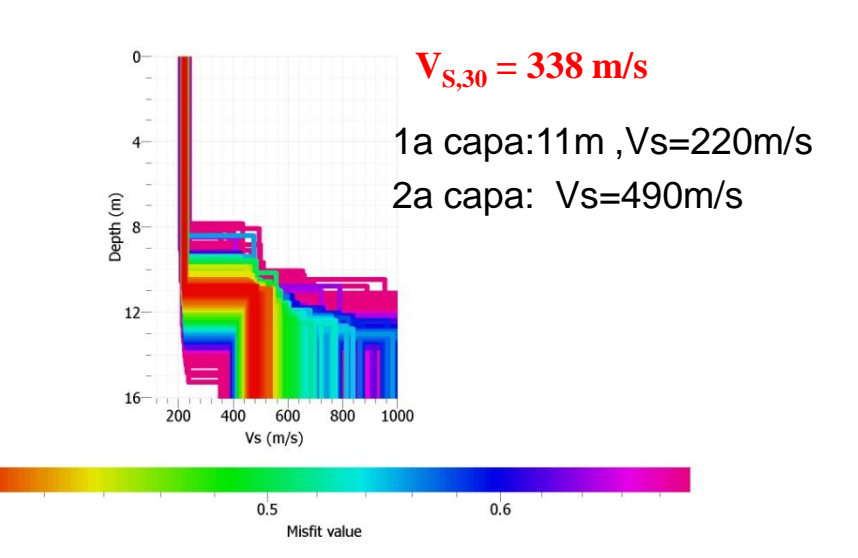


## **Resultados array**

#### **Plaza Toros**

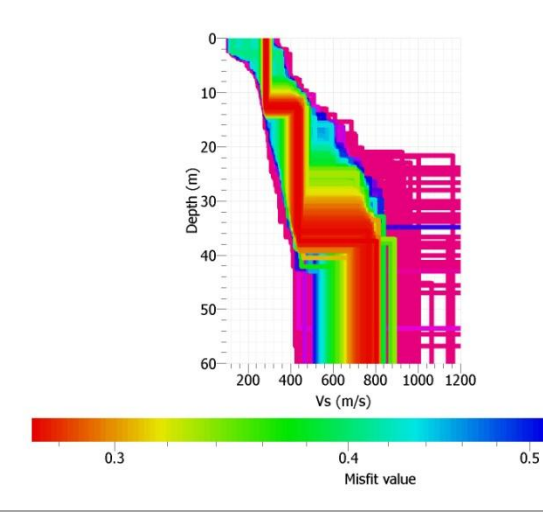


#### Centro médico



#### **Recinto ferial**

0.4



$$V_{S,30} = 361 \text{ m/s}$$

1a capa de 12m, Vs=285m/s 2a capa de 23m, Vs=440m/s 3a capa Vs=750m/s



0.6



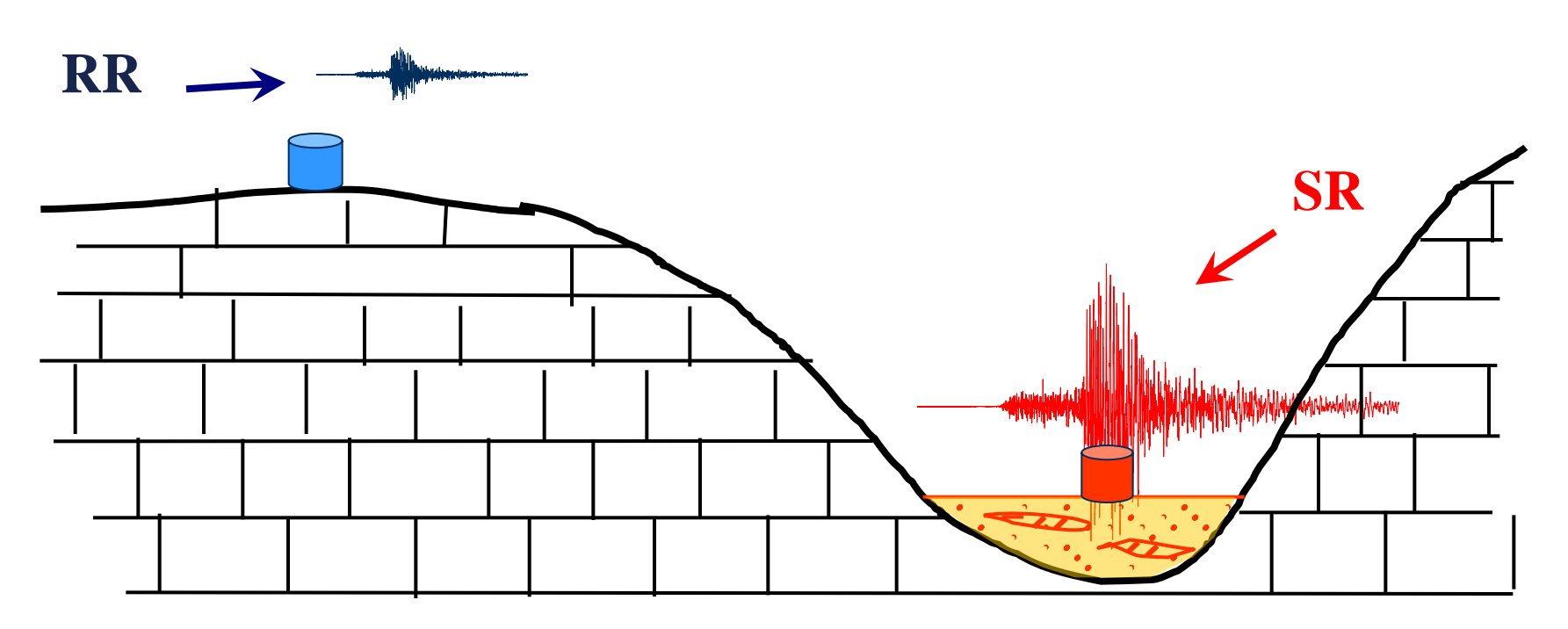


# Registro de réplicas

## Objetivo:

- Registrar el movimiento sísmico en los distintos tipos de suelo presentes en la ciudad de Lorca.
- Cálculo de la función de transferencia de la capa de suelos.

$$FT = \frac{SR}{RR}$$







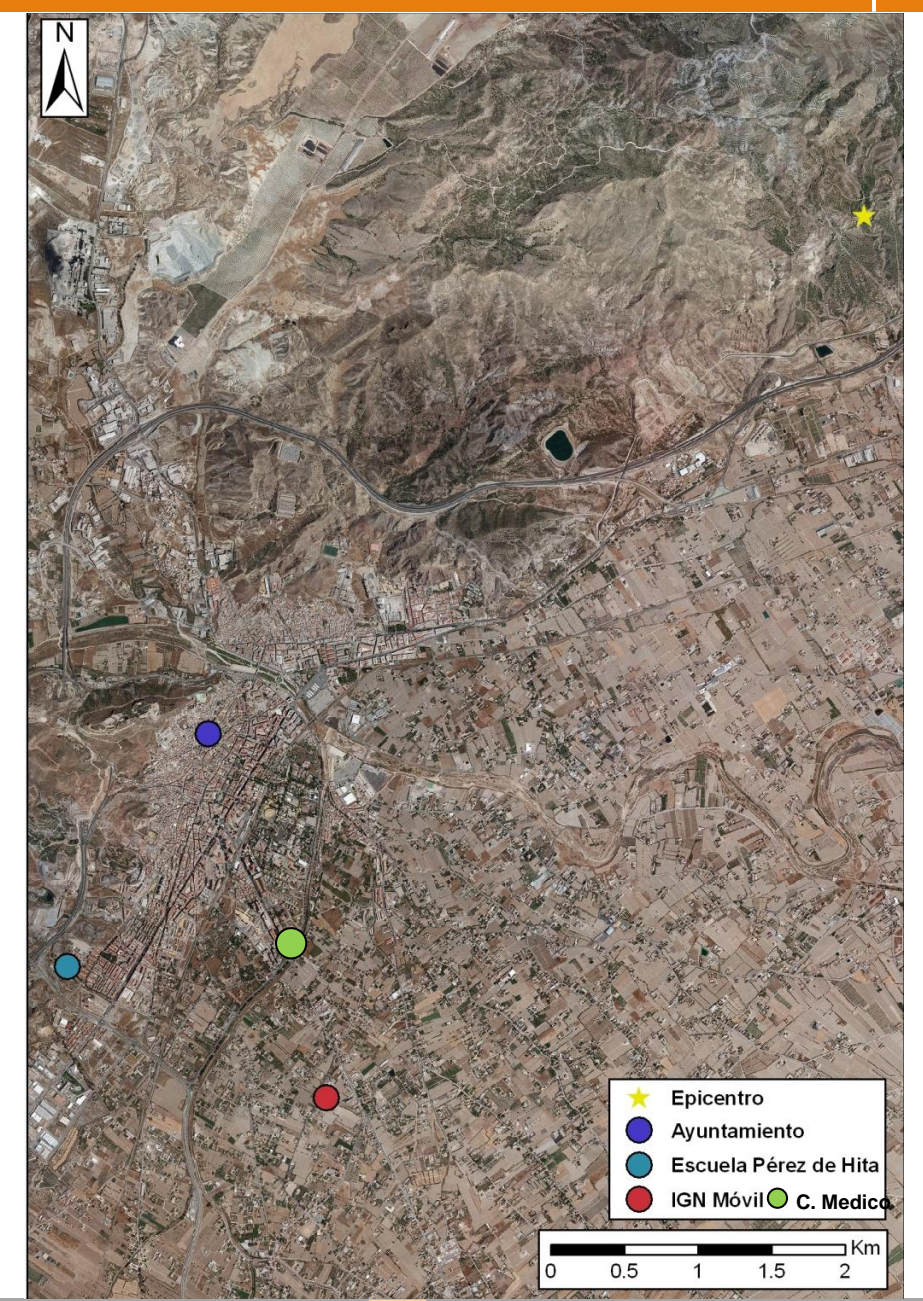
# Registro de réplicas

# **Emplazamientos:**

Escuela Pérez de Hita (Roca, A)
Ayuntamiento (Suelo duro, B)
Centro médico y UMV6 (Suelo blando, C)

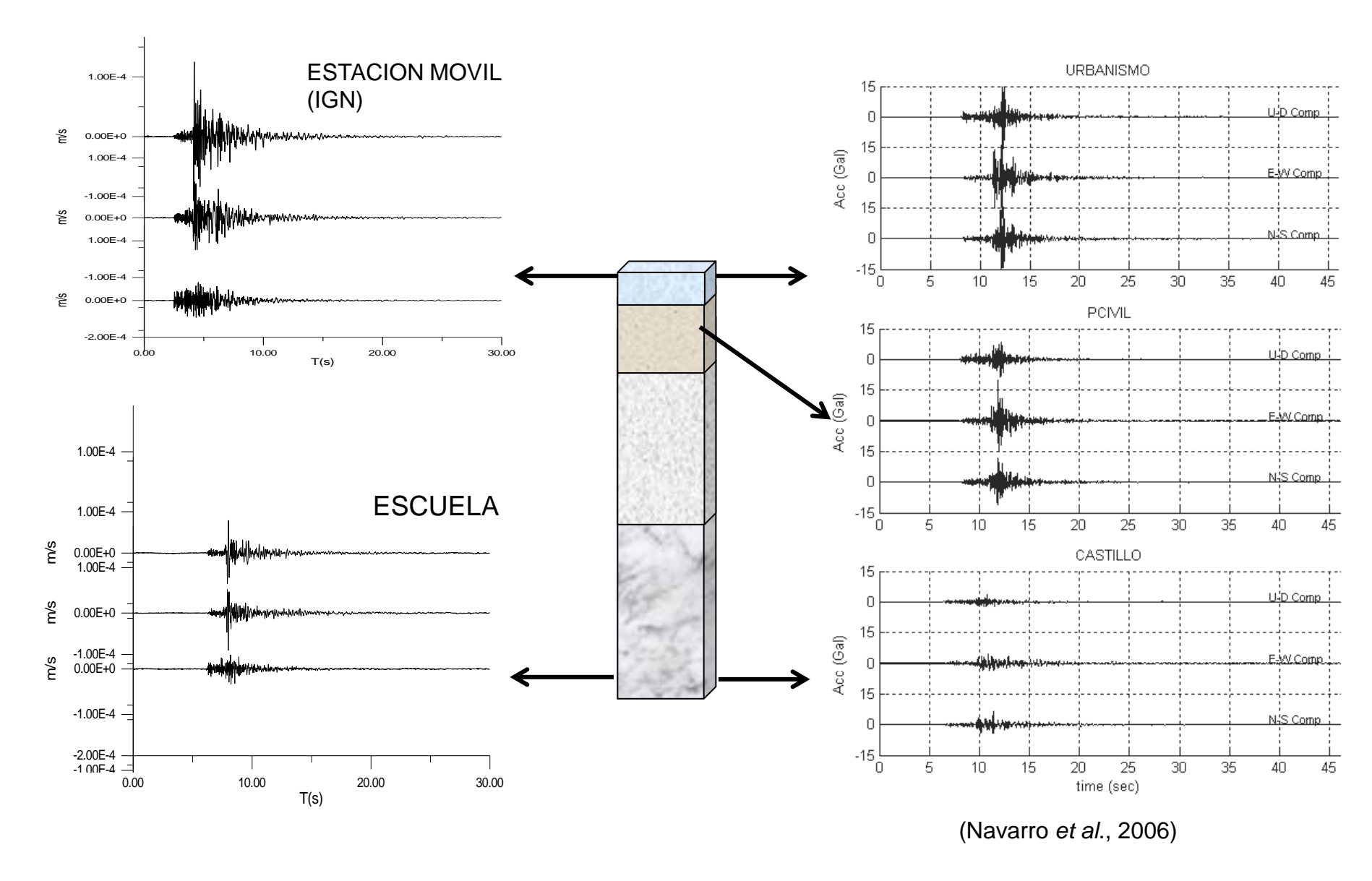






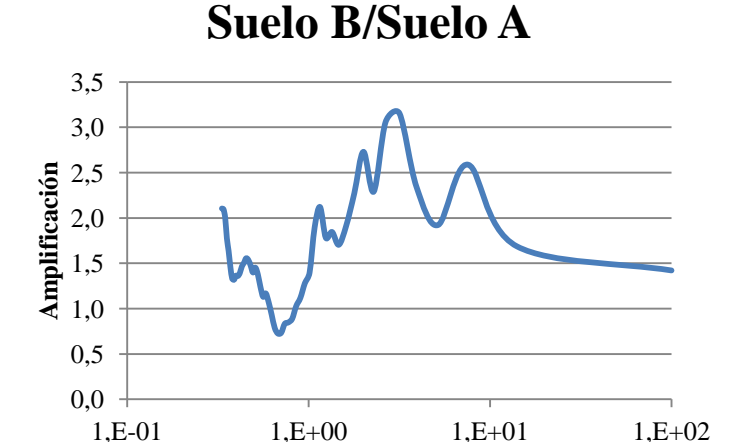


# Réplica del 24/05/2011 M=2.4



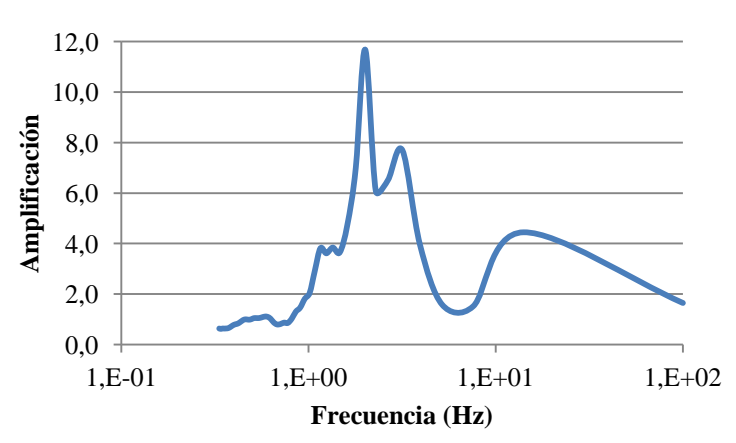


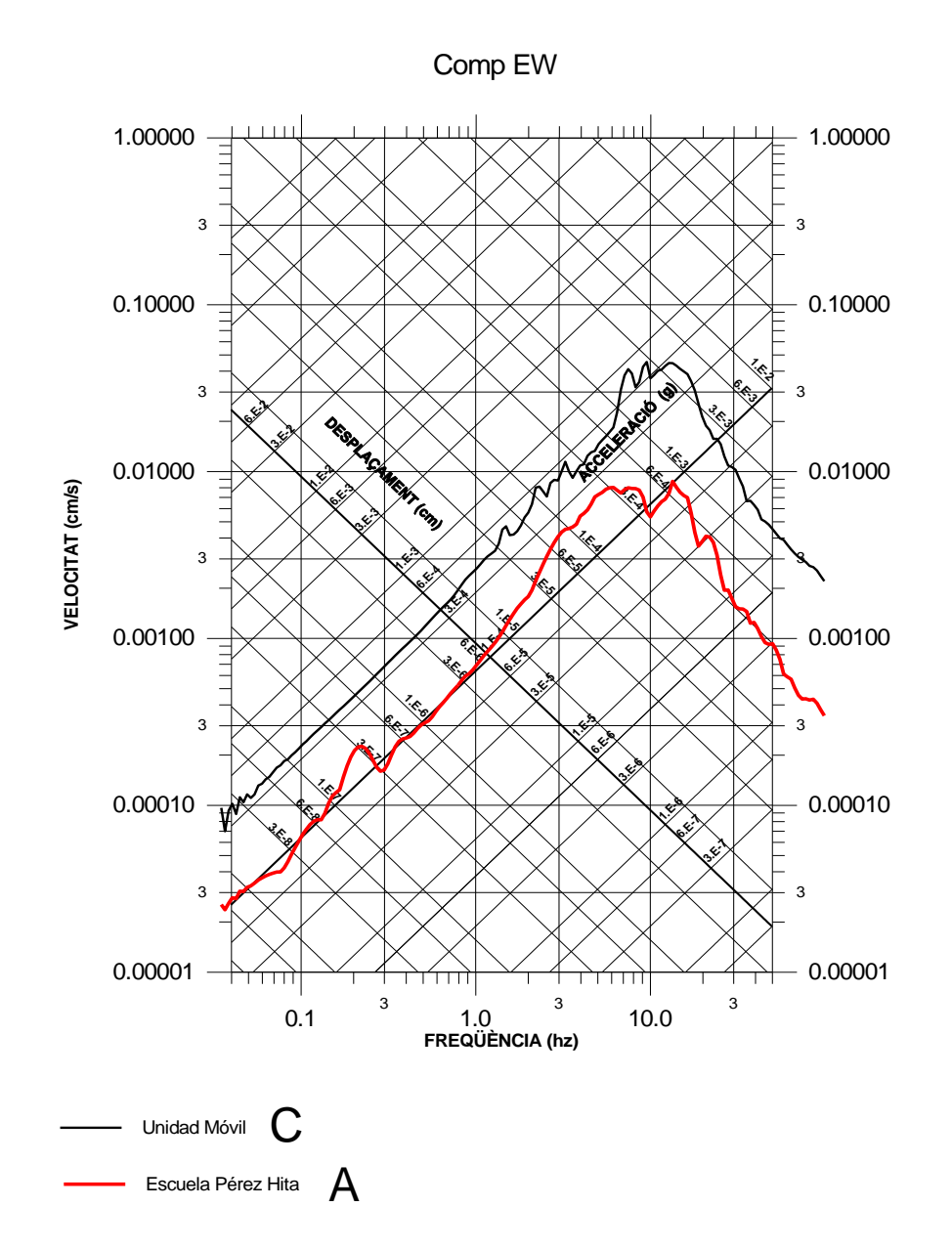
#### Réplica del 24/05/2011 M=2.4



#### Suelo C/Suelo A

Frecuencia (Hz)



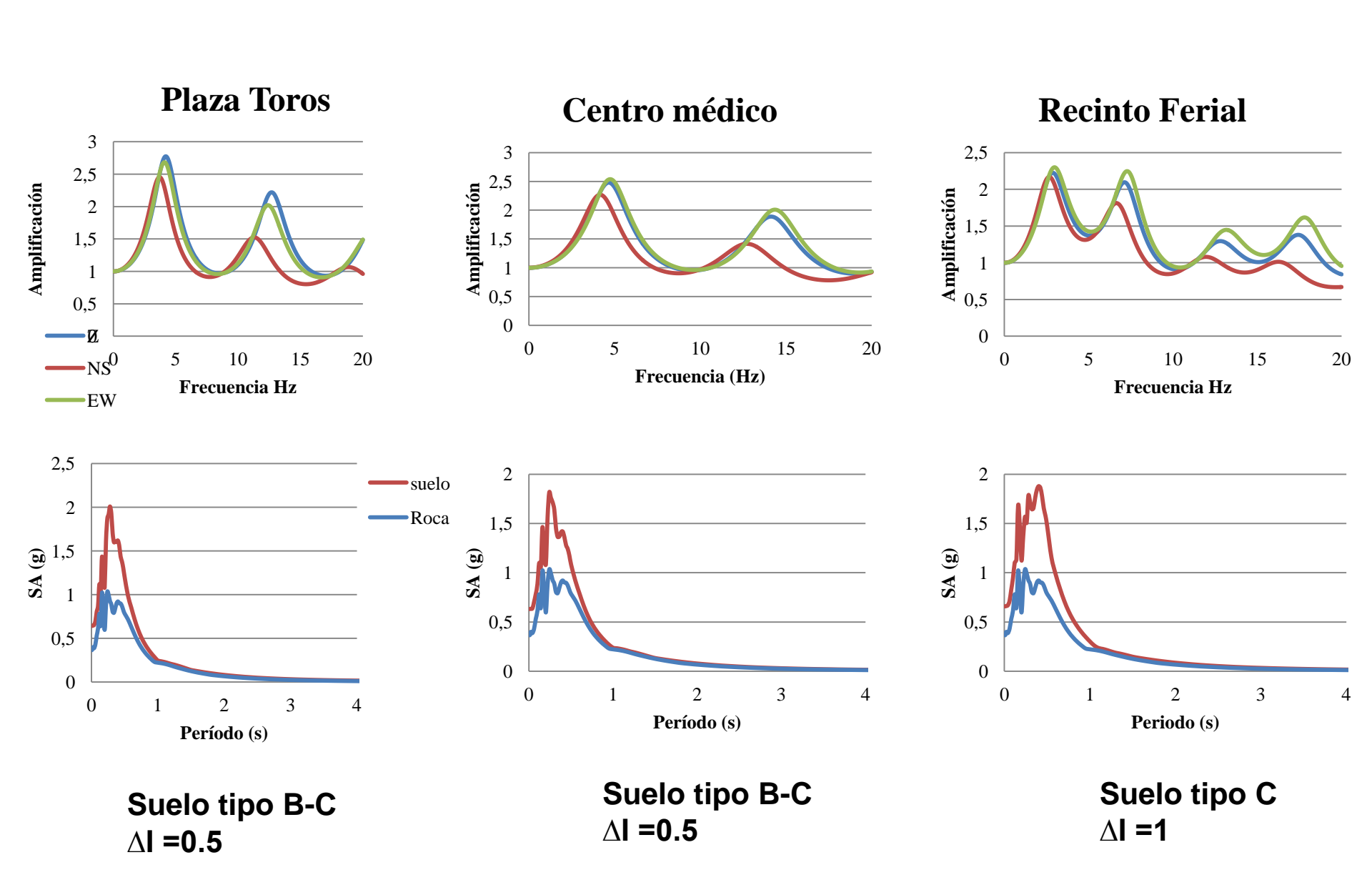








# Modelización preliminar de la respuesta sísmica del suelo





#### Conclusiones

#### Técnica del cociente espectral H/V

Valores bajos de la frecuencia fundamental.

No se aprecian contrastes importantes suelo/roca.

No sugiere un efecto de suelo destacable.

#### Técnica de "array"

Las capas de suelos más superficiales tienen Vs bajas. Suelos tipo C (EC8), capacidad de amplificar el movimiento sísmico.

#### Registro de réplicas

Amplificación de un factor 3 (5Hz) en suelos tipo B (EC8), Amplificación de un factor 6 (5 Hz) en suelos tipo C (EC8), III (NCSE)

#### Modelización de la respuesta del suelo

 $\Delta I = 0.5$  en suelos tipo B-C (EC8), II-III (NCSE)

 $\Delta I = 1$  en suelos tipo C (EC8), III (NCSE)

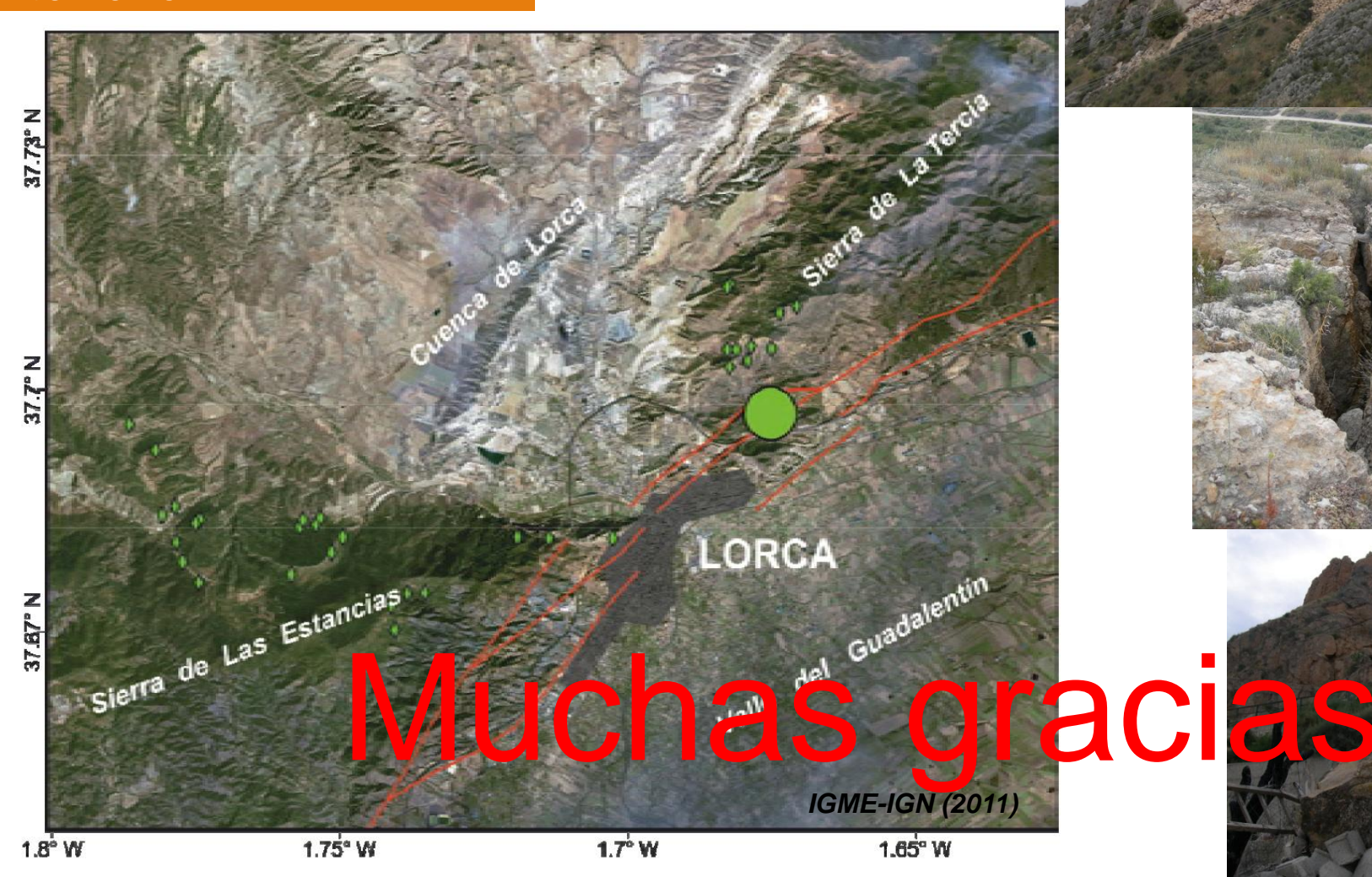
Los efectos de suelo pueden haber contribuido al aumento de daños en los edificios del valle del Guadalentín.





#### Efectos sísmicos locales

# Inestabilidades del terreno











## Lecciones aprendidas en los aspectos sismológicos

#### Dentro de la normalidad:

- seismo de magnitud moderada,  $M_w$ 5,1, considerado en los estudios previos de Peligrosidad
- no se han observado desplazamientos co-sísmicos en el terreno
- influencia de los efectos de amplificación comprendidos sólo parcialmente => poco contraste entre las capas del terreno (H/V), pero amplificación confirmada mediante los registros de una réplica

#### Observaciones sin precedentes en España:

- movimiento vibratorio particularmente intenso en Lorca (PGD= 3 cm; PGA= 0,37g) => efecto de campo próximo, debido a la ruptura muy superficial y muy próxima a la ciudad (debajo?)
- observación de desplazamientos co-sísmicos a partir de datos GPS y de InSar,

#### Factores atenuantes del balance de víctimas:

- hora del terremoto: 18h47, después del cierre de las escuelas,
   y 1h40 después de un precursor de M<sub>w</sub>4,5
- duración muy corta del terremoto: 1,5s





